



سکل دادن فلزات



www.metallurgy-karaj.vcp.ir

کاری از سید حامد میر غیاثی

مهندسی مواد

کتاب چهارم

دروس تخصصی کارشناسی

(گرایش متالورژی صنعتی)

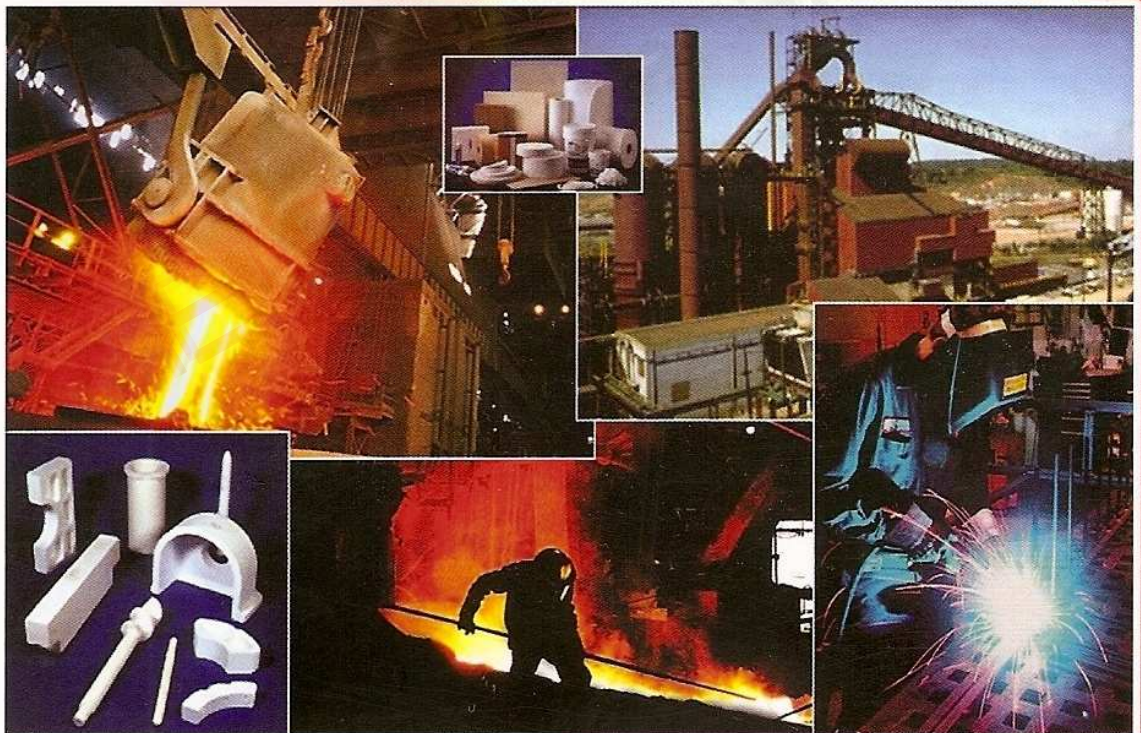
خلاصه مطالب درسی

نکات ویژه کنکوری

تست های طبقه بندی شده موضوعی کنکور کارشناسی ارشد
با پاسخ تشریحی

کنکور سراسری دانشگاه آزاد اسلامی

چاپ دوم



امیر مهدی همایون فکری

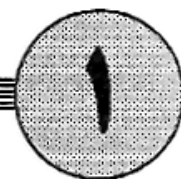
(رتبه اول کنکور کارشناسی ارشد)

انتشارات آزاده

فهرست مطالب

فصل اول: شکل دادن فلزات.....	۱
۱-۱- مقدمه	۱
۱-۱-۱- تنش در یک نقطه	۱
۱-۱-۲- تنش در دو بعد	۱
۱-۱-۳- دایره مورتش در دو بعد	۱
۱-۱-۴- حالت تنش در سه بعد و تنسور تنش	۱
۱-۱-۵- مؤلفه‌های هیدرواستاتیک و انحرافی تنش	۱
۱-۱-۶- کرنش	۱
۱-۱-۷- روابط تنش - کرنش کشسان	۱
۱-۱-۸- تنسور کرنش	۱
۱-۱-۹- لوله‌های جدارخوار	۱
۱-۱-۱۰- کارکشان یا انرژی کرنش	۱
۱-۲- معیارهای تسلیم فلزات	۱
۱-۲-۱- معیار رانکین	۱
۱-۲-۲- نظریه سنت - ونانت یا نظریه کرنش خطی ماکزیمم	۱
۱-۲-۳- معیار ترسکا	۱
۱-۲-۴- نظریه انرژی کرنشی ماکزیمم یا نظریه بلترامی	۱
۱-۲-۵- معیار قون میزز	۱
۱-۲-۶- کار مومنان	۱
۱-۲-۷- تنش مؤثر	۱
۱-۲-۸- کرنش مؤثر	۱
۱-۲-۹- آهنگ کرنش و دما	۱
۱-۳- کار ایده‌آل یا انرژی یکنواخت	۱
۱-۳-۱- اصطکاک، کار اضافی و بازده مکثیکی	۱
۱-۳-۲- ماکزیمم کلعش سطح مقطع در عملیات کشش	۱
۱-۳-۳- انرژیه زاویه حدیده بر کار همگن، کار اصطکاکی و کار اضافی	۱
۱-۳-۴- فرآیندهای شکل دادن فلزات	۱
۱-۳-۱- کشش ورق	۱
۱-۳-۲- کشش سیم یا مفتول	۱
۱-۳-۳- فرآیندهای کشیدن لوله	۱
۱-۳-۴- ۱- توبی کشی	۱
۱-۳-۴- ۲- سنبه کشی	۱
۱-۳-۴- ۳- فروکشی	۱
۱-۴-۱- اکستروزن	۱
۱-۴-۵- آهنگری (فورج)	۱
۱-۴-۵- ۱- دسته بندی فرآیندهای آهنگری (فورجینگ)	۱
۱-۵-۲- آهنگری در شرایط کرنش صفحه‌ای	۱
۱-۵-۳- تنش برشی ثابت در فصل مشترک	۱
۱-۵-۴- آهنگری در شرایط تقارن محوری	۱
۱-۶- نورد	۱
۲۵- ۷- کشش عمیق	۱
۲۵- ۵- تحلیل کران بالایی	۱
۲۷- ۱- تحلیل کران بالایی ازاه حل قابل قبول از لحاظ سیماتیکی	۱
۴۰- ۵- مصرف انرژی روی صفحه‌ای با برش گسته	۱
۴۸- ۱- نظریه میدان خط لغزش	۱
۵۰- ۶- نظریه میدان خط لغزش	۱
۵۲- ۱- معادله‌های تنش	۱
۵۶- ۲- شرایط مرزی	۱

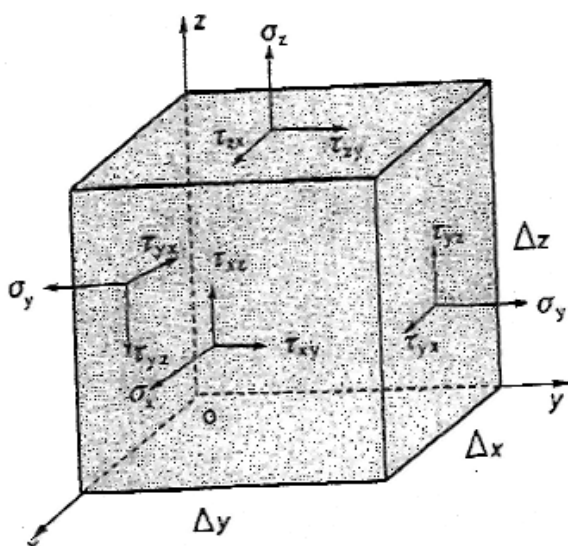
شکل دادن فلزات



۱-۱-۱- مقدمه

۱-۱-۱- تنش در یک نقطه

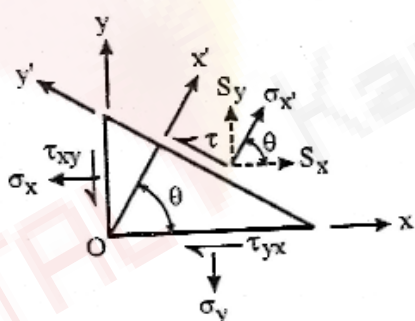
تنش عبارت است از نیرو تقسیم بر واحد سطح. هر تنشی در یک نقطه به مؤلفه‌های عمودی و برشی تجزیه می‌شود. تنشهای عمود وارد بر وجود یک عنصر مکعبی شکل با زیرنویس شاخص جهت معین شده‌اند. مثلاً τ_{xz} تنش عمود وارد در جهت x است چون τ_{xz} یک تنش عمود است، باید به روی صفحه‌ای عمود بر جهت x وارد شود. طبق قرارداد مقادیر تنش‌های عمود بزرگتر از صفر معرف کشش و مقادیر کوچکتر از صفر نشان دهنده فشار هستند. برای تنشهای برشی دو زیرنویس به کار می‌رود. معرف اول زیرنویس، نشان دهنده صفحه‌ای است که تنش بر آن وارد می‌شود و حرف دوم نشان دهنده جهت اعمال تنش می‌باشد. مثلاً τ_{xy} تنش برشی روی صفحه عمود بر محور y و در جهت محور z است و τ_{xz} تنش برشی روی صفحه عمود بر محور x و در جهت محور y است شکل (۱-۱).



شکل ۱ - ۱) تنش‌های وارد بر یک عنصر مکعبی واحد

۱ - ۲ - قنش در دو بعد

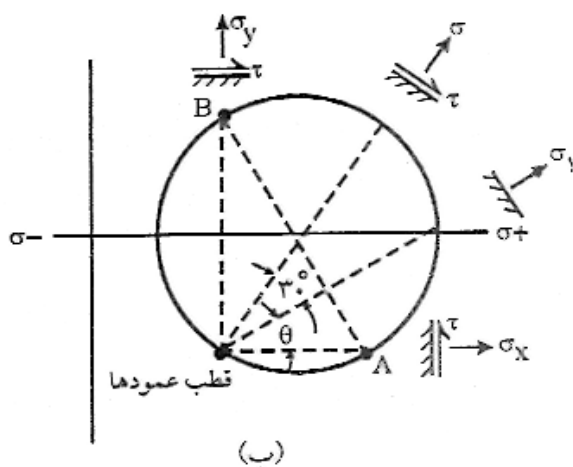
حالت تنش دو بعدی در عمل، هنگامی به وجود می‌آید که یکی از ابعاد جسم نسبت به دو بعد دیگر کوچک باشد. حالت تنشی که در آن تنش‌ها در یکی از جهات اولیه صفر باشد، تنش صفحه‌ای نامیده می‌شود. شکل (۱-۲) ورق نازکی را نشان می‌دهد که ضخامت آن عمود بر صفحه کاغذ است. اگر نقطه O واقع بر ورق باشد و خط عمود بر صفحه شیبدار با محور x (جهت اصلی) زاویه θ بسازد، محور عمود بر سطح شیبدار را جهت x' و جهت واقع بر صفحه شیبدار را y' نامیم. اگر s_x و s_y عواملهای تنش کل، وارد بر سطح شیبدار باشند می‌توان نوشت:



شکل ۱ - ۲) حالت تنش در دو بعد

$$\sigma_{x'} = \frac{\sigma_x + \sigma_y}{2} + \frac{\sigma_x - \sigma_y}{2} \cos 2\theta + \tau_{xy} \sin 2\theta \quad (1-1)$$

$$\sigma_{y'} = \frac{\sigma_x + \sigma_y}{2} - \frac{\sigma_x - \sigma_y}{2} \cos 2\theta + \tau_{xy} \sin 2\theta \quad (2-1)$$



شکل ۱-۳-الف) دایره مور برای حالت تنش دو بعدی (ب) دایره مور با استفاده از قطب برای عمودها

اگر زاویه θ چنان انتخاب شود که $\sigma_1 = \sigma_y$ شود، داریم:

$$\tan 2\theta = \frac{2\tau_{xy}}{\sigma_x - \sigma_y} \quad (7-1)$$

و مقادیر تنش‌های اصلی σ_1 و σ_2 که در دستگاه مختصات آنها، تنشهای برشی صفر است، برابر است با:

$$\sigma_1, \sigma_2 = \frac{1}{2} (\sigma_x + \sigma_y) \pm \frac{1}{2} \sqrt{(\sigma_x - \sigma_y)^2 + 4\tau_{xy}^2} \quad (8-1)$$

برای یافتن صفحاتی که در آنها τ_{xy} ماقزیم است داریم:

$$\frac{\partial \tau_{x'y'}}{\partial \theta'} = 0 \Rightarrow \tan 2\theta = \frac{\sigma_x - \sigma_y}{2\tau_{xy}} \quad (9-1)$$

با مقایسه (7-1) و (9-1) مشخص می‌شود $\theta' = \frac{\pi}{2} - \theta$ و این به آن معناست که زاویه بین صفحاتی که تنش برشی ماقزیم دارند با صفحاتی که تنش برشی در آنها صفر است، برابر ۴۵ درجه است. مقدار تنش برشی ماقزیم که شعاع دایره مور نیز هست، برابر است با:

$$\tau_{max} = \frac{1}{2} \sqrt{(\sigma_x - \sigma_y)^2 + 4\tau_{xy}^2} \quad (10-1)$$

زمانی که تنش برشی ماقزیم است، مقدار تنش عمودی برابر $\frac{\sigma_x + \sigma_y}{2}$ است که همان طول مرکز دایره مور بر روی محور σ می‌باشد.

$$\tau_{x'y'} = \frac{\sigma_y - \sigma_x}{2} \sin 2\theta + \tau_{xy} \cos 2\theta \quad (3-1)$$

این معادلات، معادلات تبدیل تنש هستند و اگر تنش‌ها در سیستم مختصات $x'y'$ و زاویه θ مشخص باشند، تنش‌ها را در سیستم مختصات $x'y'$ تعیین می‌کنند.

۱-۱-۳-دایره مورتنش در دو بعد

با تبدیل معادلات تنش (۱-۱) و (۱-۲) می‌توان به معادلات زیر رسید:

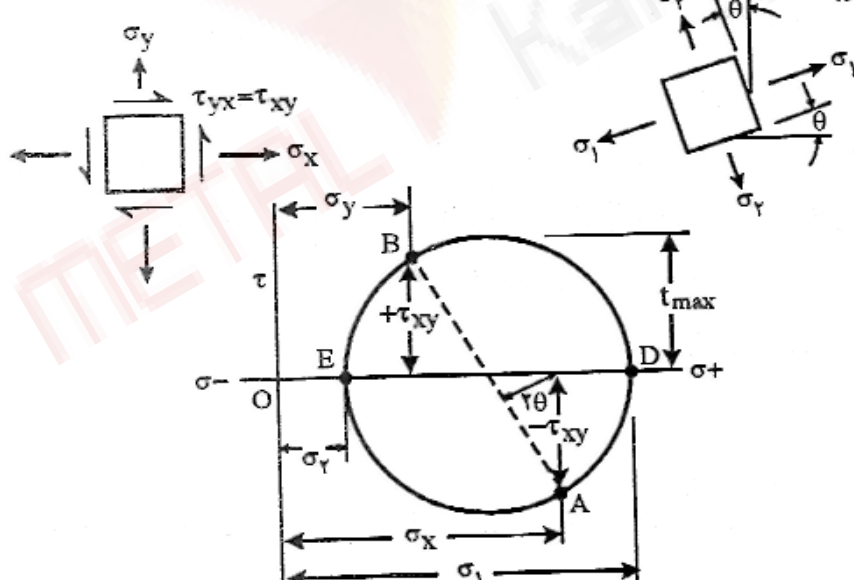
$$\sigma_{x'} = \frac{\sigma_x + \sigma_y}{2} = \frac{\sigma_x - \sigma_y}{2} \cos 2\theta + \tau_{xy} \sin 2\theta \quad (4-1)$$

$$\tau_{x'y'} = \frac{\sigma_y - \sigma_x}{2} \sin 2\theta + \tau_{xy} \cos 2\theta \quad (5-1)$$

اگر معادلات به دست آمده را به توان دو برسانیم و با هم جمع کیم، σ_x را بر حسب $x'y'$ به دست می‌آوریم:

$$\left[\sigma_{x'} - \frac{\sigma_x + \sigma_y}{2} \right]^2 + \tau_{x'y'}^2 = \left(\frac{\sigma_x - \sigma_y}{2} \right)^2 + \tau_{xy}^2 \quad (6-1)$$

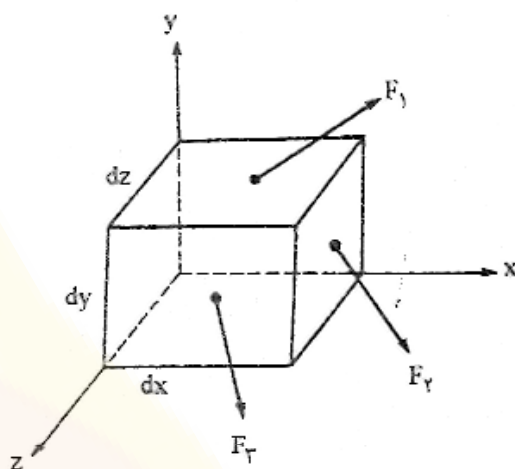
معادله (۶-۱) دایره‌ای به شکل $(x-h)^2 + y^2 = r^2$ است. بنابراین دایره مور دایره‌ای است به مختصات x' و y' که شعاع آن برابر τ_{max} بوده و مرکز آن به فاصله $\frac{(\sigma_x + \sigma_y)}{2}$ در طرف راست مبدأ قرار دارد.



(الف)

۱-۱-۴- حالت تنش در سه بعد و تانسور تنش

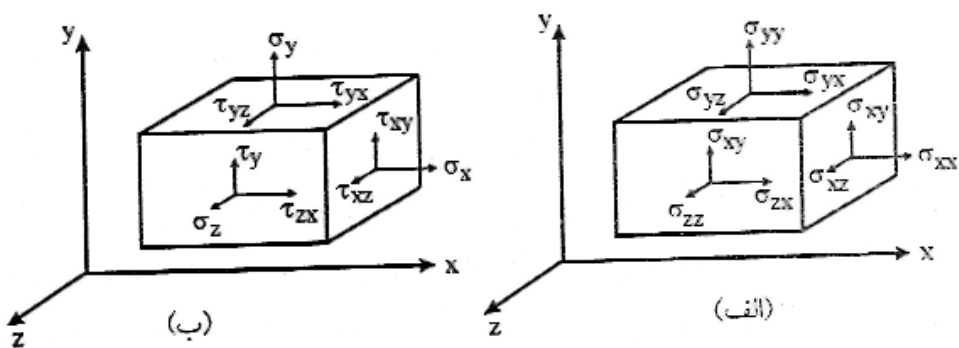
حالت کلی تنش سه بعدی، شامل سه تنش اصلی نابرابر وارد بر یک نقطه است. این حالت، تنش سه بعدی نامیده می شود. اگر دو تنش از سه تنش اصلی برابر باشند، این حالت، تنش استوانه ای نامیده می شود در حالی که اگر هر سه تنش مساوی باشند حالت، تنش هیدرواستاتیک یا کروی است. تعیین تنشهای اصلی در حالت تنش سه بعدی، بر حسب تنشهای وارد بر یک سیستم مختصات کارتزین یا استوانه ای، در واقع بسط روش تنش دو بعدی است.



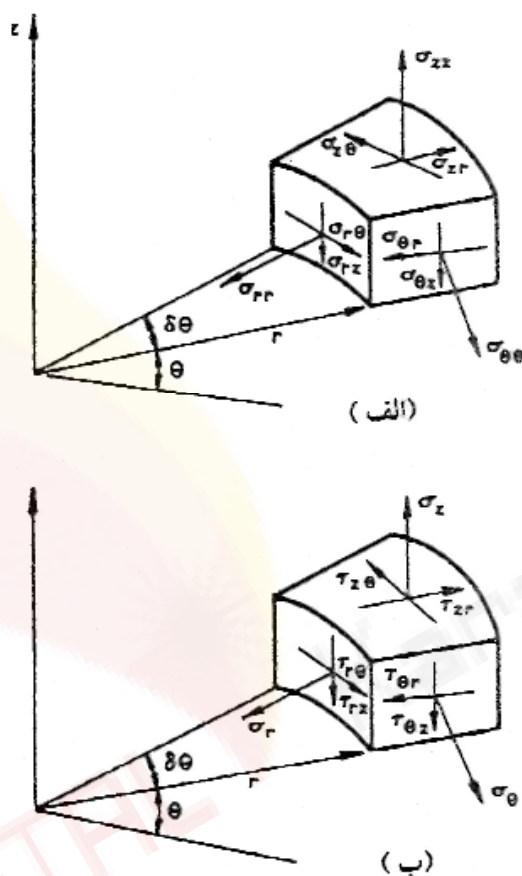
شکل ۱-۴) نیروهای کلی وارد بر یک جسم کوچک

اگر یک نقطه را با جسمی کوچک (به ابعاد dx ، dy ، dz) نشان دهیم که در حال تعادل است (شکل ۱-۴) آنگاه در کلی ترین حالت، ممکن است هر وجه از این جسم، مطابق شکل در معرض نیروهای کل F_1 ، F_2 و F_3 باشد. هریک از این نیروها را می توان به مؤلفه هایی موازی با سه محور مختصات تجزیه کرد و اگر هریک از این ۹ مؤلفه بر سطح وجهی که بر آن وارد می شوند، تقسیم شوند، آنگاه حالت کلی تنش در یک نقطه را می توان با ۹ مؤلفه نشان داده شده در شکل (۵-۱) توصیف کرد. این مجموعه از تنشها را تانسور تنش می نامند و آن را با σ_{ij} نشان می دهند. در نمادگذاری تانسوری σ_{ij} چنین بیان می شود:

$$\sigma_{ij} = \begin{vmatrix} \sigma_x & \tau_{yx} & \tau_{zx} \\ \tau_{xy} & \sigma_y & \tau_{zy} \\ \tau_{xz} & \tau_{yz} & \sigma_z \end{vmatrix} \quad (11-1)$$



شکل ۱ - ۵) مؤلفه های تنش در دستگاه مختصات کارتزین



شکل ۱ - ۶) مؤلفه های تنش در دستگاه مختصات استوانه ای

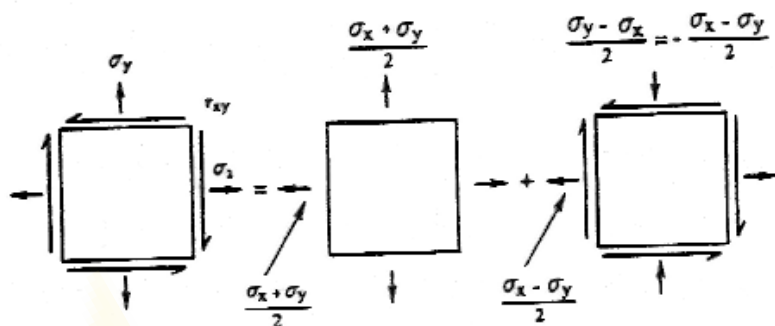
برقراری تعادل به معنای نبود آثار چرخشی حول هر محور است. بنابراین:

$$M_{\tau_{xy}} = M_{\tau_{yz}} \Rightarrow \tau_{xy} \cdot dy \cdot dz \cdot dx = \tau_{yx} \cdot dx \cdot dz \cdot dy \Rightarrow \tau_{xy} = \tau_{yx}$$

به این ترتیب ۹ مؤلفه تنش به شش مؤلفه مستقل کاوش می یابند.

۱-۱-۵- مؤلفه‌های هیدرواستاتیک و انحرافی تنش

تансور تنش کلی به یک تانسور تنش هیدرواستاتیک، یا تنش متوسط (σ_m) که فقط شامل کشش یا فشار خالص است و یک تانسور تنش انحرافی (σ_{ij}) که نشانده‌نده تنش‌های برشی موجود در تنش کلی است، (شکل ۱-۷) تقسیم می‌شود. مؤلفه هیدرواستاتیک تانسور تنش فقط تغییرات حجمی کشان تولید کرده و باعث تغییر شکل موسمان نمی‌شود. تنش انحرافی شامل تنش‌های برشی است که موجب تغییر شکل موسمان فلز می‌شود.



$$\text{تش انحرافی} + \text{تش هیدرواستاتیک} = \text{تش کل}$$

شکل ۱-۷) تجزیه تنش کل به تنش‌های هیدرواستاتیک و انحرافی

تش هیدرواستاتیک از رابطه زیر بدست می‌آید:

$$\sigma_m = \frac{\sigma_x + \sigma_y + \sigma_z}{3} = \frac{\sigma_1 + \sigma_2 + \sigma_3}{3} \quad (12-1)$$

در نتیجه، تجزیه تانسور تنش کلی چنین خواهد بود:

$$\begin{vmatrix} \sigma_x & \tau_{xy} & \tau_{xz} \\ \tau_{yx} & \sigma_y & \tau_{yz} \\ \tau_{zx} & \tau_{zy} & \sigma_z \end{vmatrix} = \begin{vmatrix} \sigma_m & \cdot & \cdot \\ \cdot & \sigma_m & \cdot \\ \cdot & \cdot & \sigma_m \end{vmatrix} + \begin{vmatrix} \frac{2\sigma_x - \sigma_y - \sigma_z}{3} & \tau_{xy} & \tau_{xz} \\ \tau_{yx} & \frac{2\sigma_y - \sigma_x - \sigma_z}{3} & \tau_{yz} \\ \tau_{zx} & \tau_{zy} & \frac{2\sigma_z - \sigma_x - \sigma_y}{3} \end{vmatrix} \quad (13-1)$$

۱-۱-۶- کرنش

هنگامی که جسمی جامد تغییر شکل می‌دهد، نقاط آن جسم جابجا می‌شوند. کرنش بر حسب این جابجاییها تعریف می‌شود اما به رویی که آثار حرکت جسم صلب، از قبیل انتقال محض یا چرخش محض به حساب نیایند. اگر طول اولیه جسم l_0 و طول ثانویه آن l باشد، خواهیم داشت:

$$e = \frac{l - l_0}{l_0} = \frac{\Delta l}{l_0}$$

کرنش مهندسی

$$\varepsilon = \ln \frac{l}{l_0}$$

کرنش حقیقی

کرنش خطی (طولی) که ناشی از γ است
کرنش (تغییر فرم)

کرنش برشی (زاویه‌ای یا لغزشی) که ناشی از تنش γ_{ij} است.

کار کردن با کرنشهای حقیقی بهتر از کرنشهای مهندسی است. زیرا:

۱- کرنشهای حقیقی برای تغییر شکل معادل در فشار و کشش برابرند و تنها علامتهای آنها بر عکس است.

۲- کرنشهای حقیقی جمع پذیرند. کرنش حقیقی کل با مجموع کرنشهای حقیقی جزء برابر است.

۳- تغییر حجم به مجموع سه کرنش قائم مربوط می‌شود و حجم ثابت می‌ماند.

اگر کرنشهای کوچک باشند، آن‌گاه کرنشهای مهندسی و حقیقی تقریباً برابرند. از معادله زیر:

$$\varepsilon = \ln \left(\frac{l_0 + \Delta l}{l_0} \right) = \ln \left(1 + \frac{\Delta l}{l_0} \right) = \ln (1 + e) \quad (14-1)$$

بسط سری زیر نتیجه می‌شود:

$$\varepsilon = e - \frac{e^2}{2} + \frac{e^3}{3!} + \dots \quad (15-1)$$

بنابراین اگر $e \rightarrow 0$ آنگاه $\varepsilon \rightarrow 0$

۱-۱-۷- روابط تنش - کرنش کشسان

تش کشسان طبق قانون هوک برابر حاصلضرب مدول کشسانی در کرنش کشسان است:

$$\sigma_x = E \varepsilon_x \quad (16-1)$$

وقتی یک نیروی کششی در جهت x به جسم وارد شود و در آن جهت در جسم از دیاد طول وجود آید، جسم در جهات y و z منقبض می‌شود. تجربه نشان داده است که کرنش عرضی بعضی ثابتی از کرنش در جهت طول است. این رابطه نسبت پواسون نامیده شده و با علامت ν مشخص می‌شود:

$$\varepsilon_y = \varepsilon_z = -\nu \varepsilon_x = -\nu \frac{\sigma_x}{E} \quad (17-1)$$

ضریب پواسون یک ماده کشسان کاملاً همسانگر $/25$ است ولی برای بیشتر فلزات مقدار ν در حدود $/33$ است.

با انطباق مؤلفه‌های کرنش در جهات x و y و z خواهیم داشت:

$$\varepsilon_x = \frac{1}{E} \left[\sigma_x - \nu (\sigma_y + \sigma_z) \right] \quad (18-1)$$

$$\varepsilon_y = \frac{1}{E} [\sigma_y - \nu(\sigma_x + \sigma_z)] \quad (19-1)$$

$$\varepsilon_z = \frac{1}{E} [\sigma_z - \nu(\sigma_x + \sigma_y)] \quad (20-1)$$

از دیگر اعداد ثابت، مدول جسم یا مدول حجمی کشسانی است. مدول جسم نسبت فشار هیدرواستاتیک به ابساط ایجاد شده توسط آن است:

$$K = \frac{\sigma_m}{\Delta} = \frac{-p}{\Delta} = \frac{1}{\beta} \quad (21-1)$$

که در آن Δ برای مقادیر کم $\Delta = \varepsilon_x + \varepsilon_y + \varepsilon_z$ و p -فشار هیدرواستاتیک و β قابلیت فشردگی نامیده می‌شوند.

روابط مفید زیادی را می‌توان از ثوابت کشسان K , ν , G و E استخراج کرد.

$$\varepsilon_x + \varepsilon_y + \varepsilon_z = \frac{1-2\nu}{E} (\sigma_x + \sigma_y + \sigma_z) = \frac{1-2\nu}{E} (3\sigma_m) \quad (22-1)$$

$$\Delta = \frac{1-2\nu}{E} (3\sigma_m) \quad (23-1)$$

$$K = \frac{\sigma_m}{\Delta} = \frac{E}{3(1-2\nu)} \quad (24-1)$$

$$G = \frac{E}{2(1+\nu)} \quad (25-1)$$

در حالت تنش صفحه‌ای ($\sigma_2 = 0$) روابط زیر بدست می‌آیند:

$$\sigma_1 = \frac{E}{1-\nu^2} (\varepsilon_1 + \nu \varepsilon_2) \quad (26-1)$$

$$\sigma_2 = \frac{E}{1-\nu^2} (\varepsilon_2 + \nu \varepsilon_1) \quad (27-1)$$

و در حالت کرنش صفحه‌ای ($\varepsilon_2 = 0$) داریم:

$$\sigma_2 = \nu(\sigma_1 + \sigma_2) \quad (28-1)$$

$$\varepsilon_1 = \frac{1}{E} [(1-\nu^2)\sigma_1 - \nu(1+\nu)\sigma_2] \quad (29-1)$$

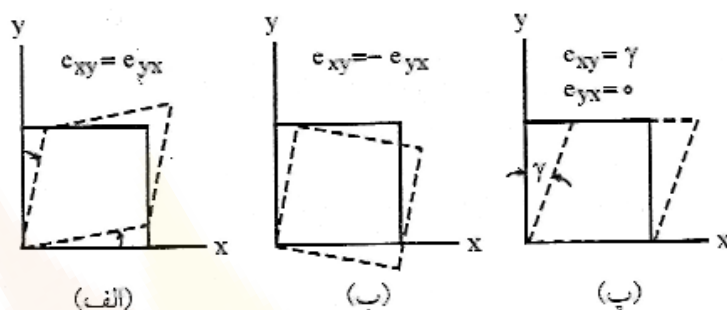
$$\varepsilon_2 = \frac{1}{E} [(1-\nu^2)\sigma_2 - \nu(1+\nu)\sigma_1] \quad (30-1)$$

۱-۱-۸- تانسور کرنش

درست همانطور که تانسور تنش را توصیف کردیم، می‌توان به صورت مشابه زیر برای توصیف کرنشها استفاده کنیم:

$$e_{ij} = \begin{vmatrix} e_{xx} & e_{xy} & e_{xz} \\ e_{yx} & e_{yy} & e_{yz} \\ e_{zx} & e_{zy} & e_{zz} \end{vmatrix} \quad (31-1)$$

نکته مهمی که وجود دارد این است که کرنش برشی تانسوری e_{xy} معادل γ_{xy} است و در این مورد شکل (۸-۱) کمک خوبی است.



شکل ۱-۸) مثالهایی از جایجایی همراه با برش و چرخش، (الف) برش خالص بدون چرخش (ب) چرخش خالص بدون برش (پ) برش ساده

جزئی در معرض برش خالص قرار می‌گیرد، و اینجش سبب ایجاد تغییرات زاویه‌ای معادلی می‌شود. چون کرنش کل یا کرنش مهندسی برابر γ است، کرنش برشی وجوده مجاور، مطابق شکل، برابر $\frac{\gamma}{2}$ خواهد بود.

۱-۱-۹- لوله‌های جدار نازک

هرگاه در لوله‌ای به طور L و شعاع r و ضخامت جداره t ، نسبت شعاع به ضخامت جداره بیشتر از ۱۰ باشد، آن را لوله جدار نازک گویند.

در صورت اعمال فشار داخل به لوله جدار نازک، سه تنش طولی یا محوری σ_L ، محیطی یا حلقوی σ_θ و شعاعی σ_r بر آن اعمال می‌شود. بدیهی است که اگر لوله دو سر باز باشد $\sigma_L = \sigma_\theta = \sigma_r = 0$. اما اگر دو سر لوله بسته باشد و در معرض فشار داخلی P قرار گیرد، مقادیر سه گانه تنش چنین است:

$$\left. \begin{aligned} \sigma_\theta &= \frac{pr}{t} = \sigma_1 \\ \sigma_L &= \frac{pr}{2t} = \sigma_2 \end{aligned} \right\} \Rightarrow \sigma_\theta = 2\sigma_L \quad (32-1)$$

$$\sigma_r = p \ll \sigma_L < \sigma_0 \Rightarrow \sigma_r \approx 0 = \sigma_r$$

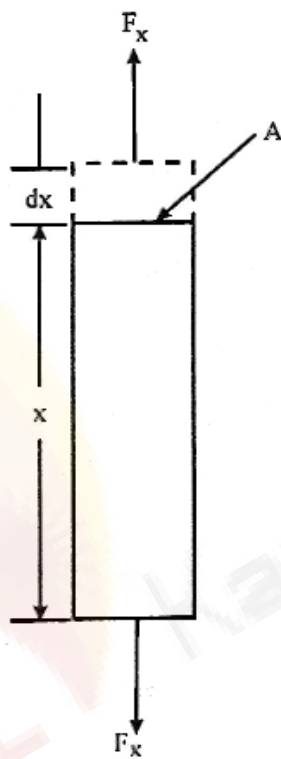
۱-۱-۱۰- کار کشسان یا انرژی کرنش

در شکل (۱-۹) میله‌ای به طول x و سطح مقطع A در معرض نیروی کششی تک محوری F_x قرار دارد که سبب تغییر طول میله به اندازه dx می‌شود. کار جزیی dW برابر است با:

$$dW = F_x \cdot dx \quad (۳۳-۱)$$

و این کار در واحد حجم، یعنی dW برابر است با:

$$dw = \frac{dW}{xA} = \frac{F_x}{A} \left(\frac{dx}{x} \right) = \sigma_x e_x \quad (۳۴-۱)$$



شکل ۱-۹) اساس روش تحلیل انرژی کرنش یا کار کشسان در واحد حجم

برای تغییر شکل کشسان تحت کشش تک محوری $\sigma_x = E e_x$. با قرار دادن در معادله (۳۴-۱) و انتگرالگیری از معادله حاصل، نتیجه می‌شود:

$$w = \frac{\sigma_x e_x}{2} = \frac{E e_x^2}{2} \quad (۳۵-۱)$$

در کلی ترین حالت، سایر مؤلفه‌های تنش نیز کار انجام می‌دهند، در نتیجه:

$$w = \frac{1}{2} (\sigma_x e_x + \sigma_y e_y + \sigma_z e_z + \tau_{xy} \gamma_{xy} + \tau_{yz} \gamma_{yz} + \tau_{zx} \gamma_{zx}) \quad (۳۶-۱)$$

و اگر با تنشهای اصلی سروکار داشته باشیم:

$$w = \frac{1}{\gamma} (\sigma_1 e_1 + \sigma_2 e_2 + \sigma_3 e_3) \quad (37)$$

و اگر با کرنشهای اصلی سروکار داشته باشیم:

$$w = \frac{E}{\gamma} (e_1^r + e_2^r + e_3^r) = \frac{1}{\gamma E} (\sigma_1^r + \sigma_2^r + \sigma_3^r)$$

۱-۲- معیارهای تسلیم فلزات

- معیارهای تسلیم

هر معیار تسلیم یک عبارت ریاضی اصل موضوعی برای حالت‌های تنش است که سبب تسلیم یا آغاز تغییر شکل موسمان می‌شوند. برای اغلب فلزات انعطاف‌پذیر و همسانگرد، فرضهای زیر در نظر گرفته می‌شود:

- ۱- اثر باوشینگر وجود ندارد، پس استحکام تسلیم درکشش و فشار برابر است.
- ۲- حجم ثابت می‌ماند، پس معادل موسمان نسبت پواسون برابر $1/5$ است.

۳- مقدار تنش قائم میانگین، یعنی $\sigma_m = \frac{\sigma_1 + \sigma_2 + \sigma_3}{3}$ بر تسلیم تأثیر نمی‌گذارد.

معیارهای تسلیم مختلفی ارائه شده‌اند، ولی مهمترین آنها متعلق به ترسکا و فون میزز است. معیارهای تسلیم نقطه شروع شکل دادن فلزات را تشکیل می‌دهند و همچنین دامنه مفید عملکرد ساختاری را که مجاز به تغییر شکل دائمی نیستند، محدود می‌کند.

۱-۲-۱- معیار رانکین

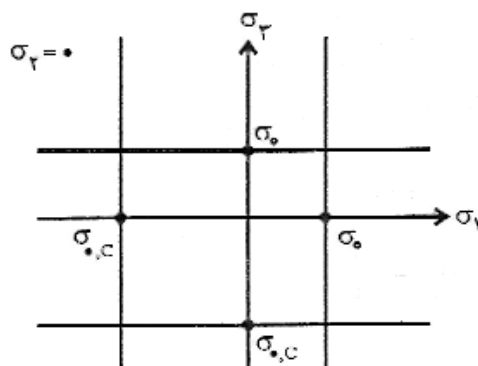
طبق معیار رانکین سیلان وقتی آغاز می‌شود یا تسلیم هنگامی رخ می‌دهد که یکی از تنشهای نرمال یا قائم اصلی برابر تنش تسلیم در حالت کششی یا فشاری یک محوری شود.

σ_o : تنش تسلیم کششی یک محوری

$\sigma_{o,c}$: تنش تسلیم فشاری یک محوری

$$\text{معیار رانکین} \left\{ \begin{array}{l} \sigma_1 = \sigma_o \\ \sigma_2 = \sigma_{o,c} \\ \sigma_3 = \sigma_o \\ \sigma_3 = \sigma_{o,c} \end{array} \right.$$

در شکل (۱-۱) این معیار به صورت مکان هندسی تسلیم در فضای تنش دو بعدی رسم شده است.



شکل ۱ - ۱۰) مکان هندسی تسلیم رانکین

در صورتیکه استحکام تسلیم در حالت کششی و فشاری را مساوی فرض کنیم یعنی $|\sigma_0| = |\sigma_{0,0}| = \sigma_{0,c}$ در آن صورت چهار ضلعی رانکین تبدیل به یک مربع می شود.

۱-۲- نظریه سنت - ونانت یا نظریه کرنش خطی ماکزیم

در این معیار فرض می شود که تسلیم هنگامی رخ می دهد که یکی از کرنشهای خطی ماکزیم (اصلی) برابر کرنش خطی تسلیم در حالت کششی یا فشاری یک محوری شود.

$$\epsilon_o = \frac{\sigma_o}{E} \quad (38-1)$$

۴: کرنش خطی تسلیم در حالت کششی تک محوری σ_0 : تنش تسلیم در حالت کششی تک محوری

$$\epsilon_1 = \frac{1}{E} (\sigma_1 - \nu(\sigma_1 + \sigma_2)) = \pm \frac{\sigma_o}{E} \quad (39-1)$$

$$\epsilon_2 = \frac{1}{E} (\sigma_2 - \nu(\sigma_1 + \sigma_2)) = \pm \frac{\sigma_o}{E} \quad (40-1)$$

$$\epsilon_3 = \frac{1}{E} (\sigma_3 - \nu(\sigma_1 + \sigma_2)) = \pm \frac{\sigma_o}{E} \quad (41-1)$$

که در آن ν ضریب پواسون است و ϵ_1 و ϵ_2 و ϵ_3 کرنشهای خطی اصلی و σ_1 و σ_2 و σ_3 تنشهای اصلی هستند. با فرض $\sigma_2 = 0$ و $\epsilon_2 = 0$ خواهیم داشت:

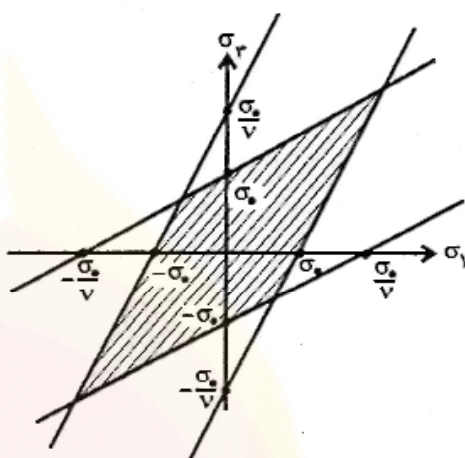
$$\sigma_1 - \nu \sigma_3 = \sigma_o \quad \begin{cases} \sigma_1 = 0 \Rightarrow \sigma_3 = -\frac{\sigma_o}{\nu} \\ \sigma_3 = 0 \Rightarrow \sigma_1 = \sigma_o \end{cases} \quad (42-1)$$

$$\sigma_1 - \nu \sigma_2 = -\sigma_0 \quad \begin{cases} \sigma_1 = 0 \Rightarrow \sigma_2 = \frac{\sigma_0}{\nu} \\ \sigma_2 = 0 \Rightarrow \sigma_1 = -\sigma_0 \end{cases} \quad (43-1)$$

$$\sigma_2 - \nu \sigma_1 = \sigma_0 \quad \begin{cases} \sigma_2 = 0 \Rightarrow \sigma_1 = \sigma_0 \\ \sigma_1 = 0 \Rightarrow \sigma_2 = -\frac{\sigma_0}{\nu} \end{cases} \quad (44-1)$$

$$\sigma_2 - \nu \sigma_1 = -\sigma_0 \quad \begin{cases} \sigma_1 = 0 \Rightarrow \sigma_2 = -\sigma_0 \\ \sigma_2 = 0 \Rightarrow \sigma_1 = \frac{\sigma_0}{\nu} \end{cases}$$

در شکل (۱۱-۱) این معیار به صورت مکان هندسی در فضای تنش دو بعدی رسم شده است:



شکل ۱-۱۱) چهارضلعی سنت - ونانت

۱-۲-۳- معیار ترسکا

در این معیار فرض می شود که تسلیم هنگامی رخ می دهد که تنش برشی به مقدار بحرانی برسد. هر جا ممکن باشد از قرارداد $\sigma_1 > \sigma_2 > \sigma_1$ استفاده خواهد شد. بنا به این معیار، تسلیم هنگامی رخ می دهد که

$$\sigma_1 > \sigma_2 > \sigma_1 - \sigma_2 = C \quad \text{یا} \quad \sigma_{max} - \sigma_{min} = C$$

برای تعیین C ، می توان از حالت کشش تک محوری استفاده کرد. در این حالت $\sigma_{max} = \sigma_1$ ، $\sigma_{min} = \sigma_2$ و تسلیم هنگامی رخ می دهد که $\sigma_1 = Y$ که در آن Y استحکام تسلیم در کشش تک محوری است. پس

$$\sigma_1 - \sigma_2 = Y = C \quad (45-1)$$

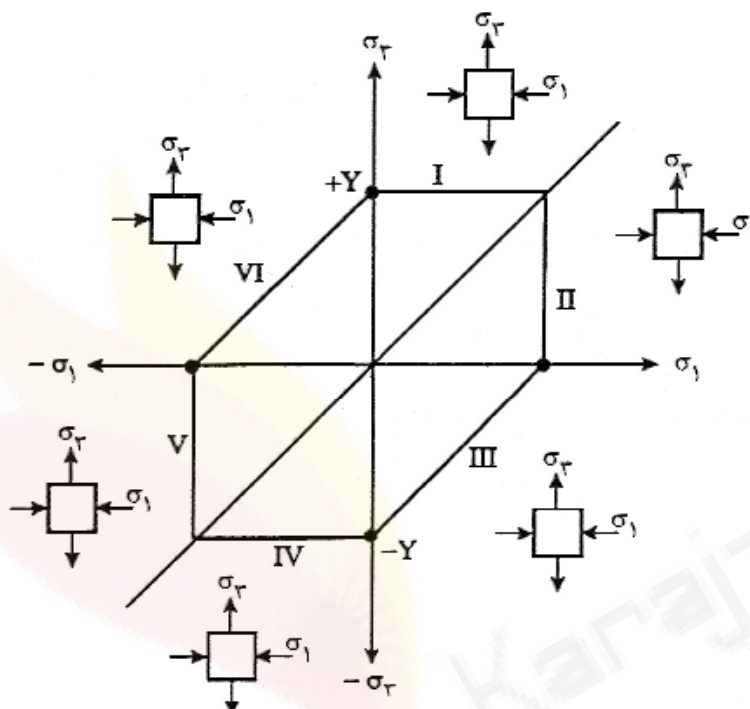
در حالت برشی محض، $\sigma_2 = 0$ و $\sigma_{min} = \sigma_2 = -\sigma_1$ ، $\sigma_{max} = \sigma_1$. تسلیم هنگامی رخ می‌دهد که تنش برشی ماکزیمم به استحکام تسلیم در برش محض، یعنی به استحکام تسلیم برشی K برسد. در آن زمان $\sigma_1 = K$. بنابراین

$$\sigma_1 - \sigma_2 = 2\sigma_1 = 2K = C \quad (46-1)$$

و معیار ترسکا چنین نوشته می‌شود:

$$\sigma_1 - \sigma_2 = Y = 2K \quad (47-1)$$

در شکل (۱۲-۱) این معیار به صورت مکان هندسی تسلیم در فضای تنش دو بعدی رسم شده است.



شکل ۱۲-۱) مکان هندسی معیار تسلیم ترسکا

در شش بخش نشان داده شده در شکل، شرایط زیر برقرار است:

$$\sigma_2 = -Y, \sigma_1 > 0, \text{ پس } \sigma_2 > \sigma_1 > 0 \quad (I)$$

$$\sigma_1 = +Y, \sigma_2 > 0, \text{ پس } \sigma_1 > \sigma_2 > 0 \quad (II)$$

$$\sigma_2 = +Y, \sigma_1 > 0, \text{ پس } \sigma_1 > \sigma_2 > 0 \quad (III)$$

۱-۲-۴- نظریه انرژی کرنشی ماکزیمم یا نظریه بلترامی

طبق این نظریه، سیلان وقتی آغاز می‌شود که انرژی کرنش ماکزیمم برابر انرژی کرنشی تسلیم در حالت کششی یا فشاری یک محوری شود.

$$\frac{1}{2} (\sigma_1 \varepsilon_1 + \sigma_2 \varepsilon_2 + \sigma_3 \varepsilon_3) = \frac{1}{2} \sigma_0 \varepsilon_0 \quad (48-1)$$

با جایگذاری روابط (۳۸-۱)، (۳۹-۱)، (۴۰-۱) و (۴۱-۱) در رابطه بالا داریم:

$$\frac{1}{E} \left[\sigma_1 (\sigma_1 - \nu(\sigma_2 + \sigma_3)) + \sigma_2 (\sigma_2 - \nu(\sigma_1 + \sigma_3)) + \sigma_3 (\sigma_3 - \nu(\sigma_1 + \sigma_2)) \right] = \frac{1}{E} \sigma_o^2$$

$$\sigma_1^2 + \sigma_2^2 + \sigma_3^2 - 2\nu(\sigma_1\sigma_2 + \sigma_1\sigma_3 + \sigma_2\sigma_3) = \sigma_o^2 \quad (49-1)$$

با فرض $\sigma_2 = \sigma_3 = 0$ داریم:

$$\sigma_1^2 + \sigma_2^2 - 2\nu\sigma_1\sigma_2 = \sigma_o^2 \quad (50-1)$$

معادله (۵۰-۱) مکان هندسی یک بیضی است.

۱-۲-۵- معیار فون میزز

در این معیار فرض می شود که تسلیم هنگامی رخ می دهد که ریشه میانگین مجدورهای تنش برشی به مقداری ثابت برسد، یا

$$\left[\frac{(\sigma_1 - \sigma_2)^2 + (\sigma_2 - \sigma_3)^2 + (\sigma_3 - \sigma_1)^2}{3} \right]^{\frac{1}{2}} = C_1 \quad (51-1)$$

یا به عبارت دیگر:

$$(\sigma_1 - \sigma_2)^2 + (\sigma_2 - \sigma_3)^2 + (\sigma_3 - \sigma_1)^2 = C_1^2 \quad (52-1)$$

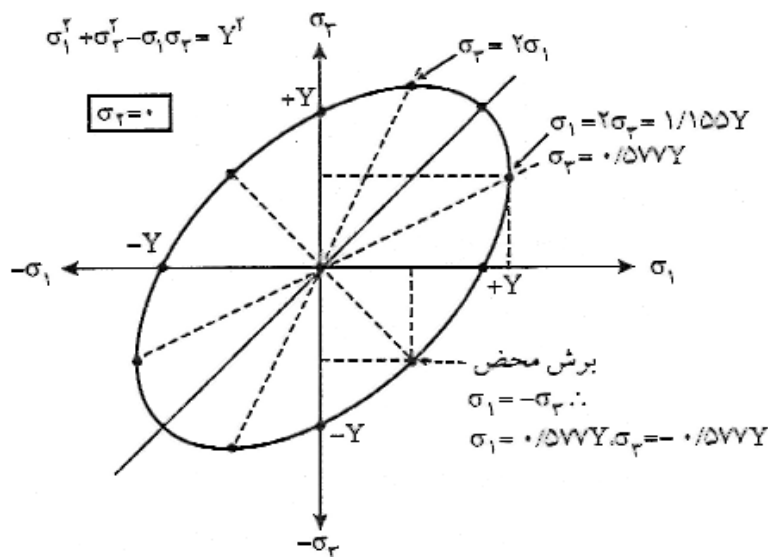
باز هم می توان برای تعیین C_2 از کشش تک محوری استفاده کرد. با قرار دادن $Y = \sigma_1$ در نقطه تسلیم، و $\sigma_2 = \sigma_3 = 0$ ، مقدار ثابت برابر $2Y^2$ بدست می آید. در برش محض، که $\sigma_1 = K = -\sigma_2$ و $\sigma_3 = 0$ ، داریم $C_2 = 6K^2$ پس معیار فوق میزز به صورت زیر بیان می شود:

$$(\sigma_1 - \sigma_2)^2 + (\sigma_2 - \sigma_3)^2 + (\sigma_3 - \sigma_1)^2 = 2Y^2 = 6K^2 \quad (53-1)$$

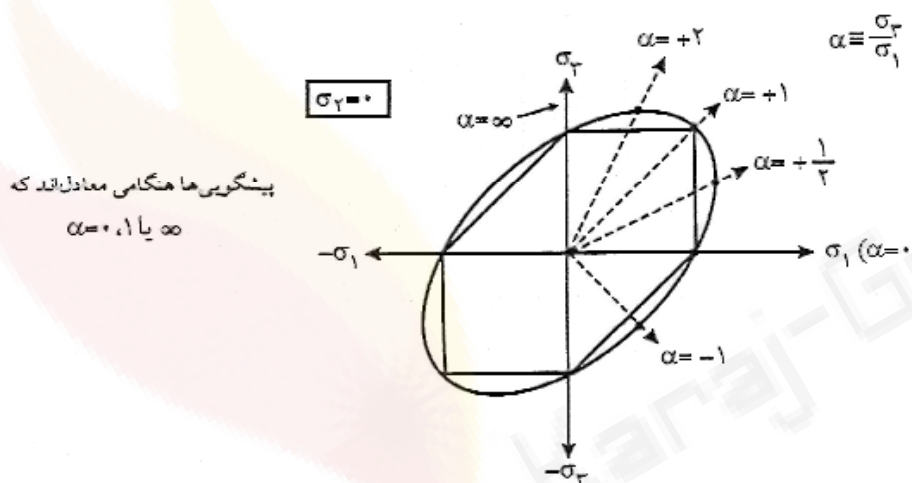
به صورتی کلی تر این معیار را می توان چنین نوشت:

$$(\sigma_x - \sigma_y)^2 + (\sigma_y - \sigma_z)^2 + (\sigma_z - \sigma_x)^2 + 6(\tau_{xy}^2 + \tau_{yz}^2 + \tau_{zx}^2) = 2Y^2 = 6K^2 \quad (54-1)$$

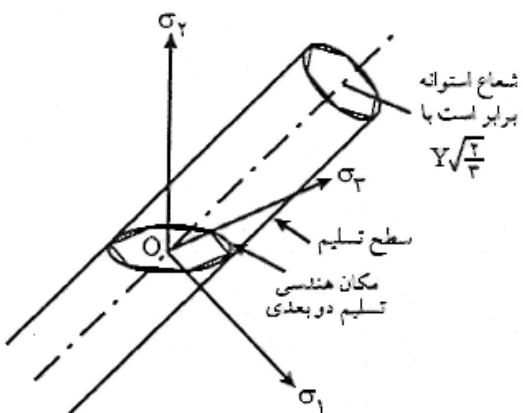
در شکل (۱۳-۱) مکان هندسی تسلیم بر اساس این معیار و در شکل (۱۴-۱-الف) هر دو معیار ترسکا و فون میزز به ازای یک مقدار Y ، به صورت بر هم نهاده شده نشان داده شده است. توجه کنید که بیشترین اختلاف در پیشگویی تسلیم در امتداد مسیرهای بارگذاری $2, \frac{1}{\sqrt{3}}, 1, -\alpha$ رخ می دهد.



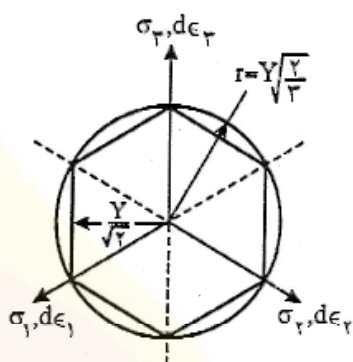
شکل ۱۳-۱۳) مکان هندسی معیار تسلیم فون میزز

شکل ۱۴-۱-الف) مکانهای هندسی معیار تسلیم ترسکا و فون میزز به ازای مقدار Y یکسان که میرهای بارگذاری خاص را نشان می‌دهند

در شکل (۱۴-۱-ب) نمودارهای سه بعدی ترسکا و فون میزز در فضای تنشهای اصلی نشان داده شده است. معیار تسلیم فون میزز با یک استوانه به شعاع $\sqrt{\frac{3}{2}Y}$ که محورش از مبدأگذشته و با محورهای مختصات زوایای مساوی می‌سازد در فضای تنشهای اصلی نشان داده شده است و معیار ترسکا نیز یک منشور شش گوش است که درون استوانه فون میزز محاط شده است. در شکل (۱۵-۱) شکلهای حاصل از گذراندن صفحه $/ \sigma_1 + \sigma_2 + \sigma_3 =$ مقدار ثابت، از هریک از سطوح دیده می‌شود.



شکل ۱-۱۴-ب) سطوح ترسیم ترسکا و نون میزز در فضای تنش سه بعدی

شکل ۱-۱۵) سطوح تسلیم ترسکا و نون میزز که روی صفحه‌ای تصویر شده‌اند که در آن: (مقدار ثابت $\cdot (\sigma_1 + \sigma_2 + \sigma_3 =$)

۱-۲-۶-کار مومنسان

در کلی ترین حالت، هنگامی که سه نیروی قائم و سه نیروی برشی به طور همزمان عمل می‌کنند، کار کل در واحد حجم برابر است با:

$$dW = \sigma_x d\varepsilon_x + \sigma_y d\varepsilon_y + \sigma_z d\varepsilon_z + \tau_{xy} d\gamma_{xy} + \tau_{yz} d\gamma_{yz} + \tau_{zx} d\gamma_{zx} \quad (55-1)$$

و بر حسب مؤلفه‌های اصلی داریم:

$$dW = \sigma_1 d\varepsilon_1 + \sigma_2 d\varepsilon_2 + \sigma_3 d\varepsilon_3 \quad (56-1)$$

۱-۲-۷-تنش مؤثر

در مورد هر معیار تسلیم، تعریف تنش مؤثری که آن را $\bar{\sigma}$ می‌نامیم و تابعی است از تنشهای اعمال شده، سودمند است. اگر اندازه $\bar{\sigma}$ به مقدار بحرانی برسد، آنگاه حالت تنش اعمال شده سبب تسلیم می‌شود. در مورد معیار فوق میزز

$$\bar{\sigma} = \frac{1}{\sqrt{2}} \left[(\sigma_1 - \sigma_3)^2 + (\sigma_2 - \sigma_3)^2 + (\sigma_2 - \sigma_1)^2 \right]^{\frac{1}{2}} \quad (57-1)$$

اما در مورد معیار ترسکا

$$\bar{\sigma} = \sigma_1 - \sigma_2 \quad (58-1)$$

که در آن $\sigma_2 > \sigma_1$ است. در حالت کشش ساده برای هر دو معیار، $Y = \bar{\sigma}$ خواهد بود ولی در حالت برش خالص، برای معیار فون میزز $K = \sqrt{3}\bar{\sigma}$ و برای معیار ترسکا $2K = \bar{\sigma}$ می‌باشد.

۱-۲-۸- کرنش مؤثر

برای معیار فون میزز، کرنش مؤثر از رابطه زیر بدست می‌آید:

$$d\bar{\varepsilon} = \frac{\sqrt{2}}{3} \left[(d\varepsilon_1 - d\varepsilon_2)^2 + (d\varepsilon_2 - d\varepsilon_3)^2 + (d\varepsilon_3 - d\varepsilon_1)^2 \right]^{\frac{1}{2}} \quad (59-1)$$

که می‌توان آن را به صورت ساده‌تر زیر بیان کرد:

$$d\bar{\varepsilon} = \left[\frac{2}{3} (d\varepsilon_1^2 + d\varepsilon_2^2 + d\varepsilon_3^2) \right]^{\frac{1}{2}}$$

اگر کرنش‌ها متناسب باشند (با نسبت تنااسب $d\varepsilon_1 : d\varepsilon_2 : d\varepsilon_3$) یعنی نسبت تنش‌ها تغییر نکند
(ثابت $\sigma_1 : \sigma_2 : \sigma_3$) کرنش مؤثر کل را می‌توان بر حسب کرنشهای کل بیان کرد:

$$\bar{\varepsilon} = \left[\frac{2}{3} (\varepsilon_1^2 + \varepsilon_2^2 + \varepsilon_3^2) \right]^{\frac{1}{2}} \quad (60-1)$$

کرنش مؤثر در معیار ترسکا برابر است با قدر مطلق بزرگ‌ترین کرنش اصلی:

$$\bar{\varepsilon} = |\varepsilon_i|_{max} \quad i = 1, 2, 3 \quad (61-1)$$

$$d\bar{\varepsilon} = |d\varepsilon_i|_{max}$$

می‌توان رابطه زیر را بین تنش‌های اصلی، تنش و کرنش مؤثر و کرنشهای اصلی نوشت:

$$d\varepsilon_1 = \frac{d\bar{\varepsilon}}{d\bar{\sigma}} \left[\sigma_1 - \frac{1}{2}(\sigma_2 + \sigma_3) \right] \quad (62-1)$$

۱-۲-۹- آهنگ کرنش و دما

- افزایش دما در حین تغییر شکل

بر اثر انجام کار مکانیکی روی فلز در حین تغییر شکل، دمای فلز افزایش می‌یابد. تنها اندکی از انرژی مکانیکی که برای تغییر شکل مصرف می‌شود، به صورت نابجایی‌ها ذخیره می‌شود و باقی ماند.

آن به صورت گرما آزاد می‌شود. اگر تغییر شکل آدیاباتیک باشد، میزان افزایش دما از رابطه زیر بدست می‌آید:

$$\Delta T = \frac{\alpha \int \bar{\sigma} d\bar{\varepsilon}}{\rho C} = \frac{\alpha \bar{\sigma}_a \bar{\varepsilon}}{\rho C} \quad (63-1)$$

که در آن $\bar{\sigma}$ تنش میانگین در فاصله کرنش صفر تا $\bar{\varepsilon}$ ، ρ چگالی فلز و C ظرفیت گرمایی فلز می‌باشد و α درصدی از انرژی است که صرف تغییر شکل فلز شده و در آن ذخیره شده است.

۱-۳- کار ایده‌آل یا انرژی یکنواخت

ساده‌ترین روش تعیین نیرو، استفاده از تراز کار یا انرژی است. بدین منظور باید کار خارجی را با انرژی مصرف شده برای تغییر شکل قطعه برابر نهاد. در این حالت از آثار اصطکاک و تغییر شکل ناهمگن چشمپوشی می‌شود. برای استفاده از این روش، باید فرآیندی ایده‌آل را در نظر مجسم کرد که شکل مطلوب را از طریق تغییر شکل همگن ایجاد کند. مثلاً در روزنرانی با تقارن محوری یا کشش سیم (مفتول)، میله‌ای با قطر اولیه معین، به میله‌ای با قطر کمتر تبدیل می‌شود. فرآیند ایده‌آلی که با این تعبیر هندسی انطباق دارد، آزمون کشش است، کار لازم برای کاهش سطح مقطع میله‌ای از A به A' تحت بار گذاری کشی، با سطح زیر منحنی تنش حقیقی - کرنش حقیقی، در محدوده کرنشهای مورد نظر، برابر است. چون این فرآیندی ایده‌آل است، نتیجه می‌شود:

$$W_i = \int_{0}^{\bar{\varepsilon}} \bar{\sigma} d\bar{\varepsilon} \quad (64-1)$$

که $\bar{\varepsilon} = \ln \left(\frac{A}{A'} \right)$. اگر فرض کنیم کار سختی از رابطه‌ای توانی پیروی می‌کند، داریم:

$$W_i = \frac{K \bar{\varepsilon}^{n+1}}{n+1} \quad (65-1)$$

در بعضی موارد از تنش شارش میانگین Y_m ، در گستره کرنش همگن استفاده می‌شود، به طوری که

$$W_i = Y_m \bar{\varepsilon} \quad (66-1)$$

و از مقایسه معادله‌های (65-1) و (66-1) نتیجه می‌شود:

$$Y_m = \frac{K \bar{\varepsilon}^n}{n+1} = \frac{\bar{\sigma}}{n+1} \quad (67-1)$$

۱-۳-۱- اصطکاک، کار اضافی و بازده مکانیکی

کار واقعی لازم برای ایجاد تغییر شکل، علاوه بر کار مورد نیاز تغییر شکل همگن، شامل کار مربوطه به آثار اصطکاک و تغییر شکل اضافی نیز هست. کار اصطکاکی در واحد حجم، W_r ، در فصل مشترک بین فلز تغییر شکل یابنده و سطوح ابزاری که فلز را مقید می‌کنند، مصرف می‌شود. کار اضافی، W_f ، از واپیچش داخلی، اضافه بر میزان مورد نیاز برای ایجاد شکل مطلوب ناشی می‌شود. نتیجه نهایی آن است که کار واقعی، حاصل جمع سه جمله است:

$$W_a = W_i + W_f + W_r \quad (68-1)$$

در عمل به دشواری می‌توان W_r را از W_f جدا کرد، زیرا از یکدیگر مستقل نیستند، اما با تعریف بازده تغییر شکل، η ، می‌توان این مشکل را دور زد:

$$\eta = \frac{W_i}{W_a} \quad (69-1)$$

با این تعریف جمله‌های کار غیر ایده‌آل با هم جمع می‌آیند. یقیناً از عواملی مانند زاویه حدیده، میزان کاهش در هر عبور و روانکاری در فصل مشترک ابزار - قطعه تأثیر می‌پذیرد. غالباً در عمل ۵٪ و ۶۵٪ تغییر می‌کند.

بنابراین کار واقعی چنین تعریف می‌شود:

$$W_a(P_e \text{ یا } \sigma_d) = \frac{1}{\eta} \int \bar{\sigma} d\bar{\varepsilon} \quad (70-1)$$

که در آن P_e فشار روزنرانی و σ_d تنش کششی در کشش سیم می‌باشد. اگر اثر کار سختی کوچک باشد، همچون در گرمکاری، می‌توان در معادله (70-1) مقدار میانگین $\bar{\sigma}$ را قرار داد، به طوریکه:

$$\frac{1}{\eta} \int_{\varepsilon_1}^{\varepsilon_2} \bar{\sigma} d\bar{\varepsilon} = \frac{\sigma_a(\Delta\varepsilon)}{\eta} = W_a(P_e \text{ یا } \sigma_d) \quad (71-1)$$

که در آن σ_d تنش شارش میانگین در گستره $\Delta\varepsilon$ است.

۱-۳-۲- ماکزیمم کاهش سطح مقطع در عملیات کشش

در عملیات کششی اگر σ_d لازم برای اثرگذاری بر عملیات کششی، از تنش شارش فلز در سر خروجی حدیده بزرگتر باشد، پیش از وقوع شارش در حدیده، ماده دچار تسلیم کششی می‌شود و اگر σ_d از استحکام کششی بیشتر شود، تحت شرایط موجود از لحاظ میزان کاهش سطح مقطع و زاویه حدیده، کشش امکان‌پذیر نیست. ماکزیمم کرنش ممکن در نتیجه کشش، هنگامی حاصل می‌شود که $\bar{\sigma} = \sigma_d$. اگر در نخستین عبور، کرنش اضافی ناشی از تغییر شکل اضافی را نادیده بگیریم، از معادله

(۷۰-۱) نتیجه می شود که:

$$\sigma_d = \frac{1}{\eta} \int_{0}^{\varepsilon_{max}} \bar{\sigma} d\bar{\varepsilon} \quad (72-1)$$

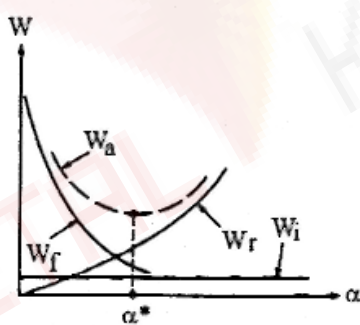
و برای کار سختی که از رابطه توانی پیروی می کند، داریم

$$\varepsilon_{max} = \eta(1+n) \Rightarrow r_{max} = 1 - e^{-\eta(1+n)} \quad (73-1)$$

در یک ماده مومنان ایده‌آل ($n = 0$) و بازده کامل ($\eta = 1$ ، $\varepsilon_{max} = 1$) و ماکزیمم کاهش سطح مقطع برابر است با $r_{max} = 0.63$ یا 63% .

۱-۳-۳- اثر نیم زاویه حدیده بر کار همگن، کار اصطکاکی و کار اضافی

در عملیات کششی (سیم، ورق، لوله) و روزنرانی، به ازای ثابت بودن کاهش سطح مقطع با افزایش نیم زاویه حدیده α ، کار اصطکاکی (W_a) به دلیل کاهش سطح تماس، کاهش می‌باید ولی کار اضافی (W_r) به دلیل افزایش میزان تغییر شکل افزایش می‌باید. کار همگن (W_i) که تنها تابع کاهش سطح مقطع است، از تغییرات α تأثیر نمی‌پذیرد. با توجه به آثار معکوس α بر روی W_a و W_r ، با افزایش α ، میزان کار واقعی (W_a) تا یک مقدار مشخص α^* کاهش می‌باید و مجدد آپس از آن افزایش می‌باید. در نتیجه مقدار کار واقعی در بهترین زاویه قالب α^* ، دارای یک حداقل است. با زیاد شدن کاهش سطح مقطع و افزایش اصطکاک، زاویه بهینه قالب، α^* ، افزایش می‌باید. در شکل (۱۶-۱) آثار نیم زاویه حدیده، α ، برای کار واقعی، W_a ، به صورت کیفی نشان داده شده است.



شکل ۱-۱۶) اثر نیم زاویه حدیده روی کار واقعی، W_a ، در حین کشش. در این شکل کار ایده‌آل، W_i ، کار اصطکاکی، W_r ، و کار اضافی، W_f ، به طور جداگانه نشان داده شده‌اند

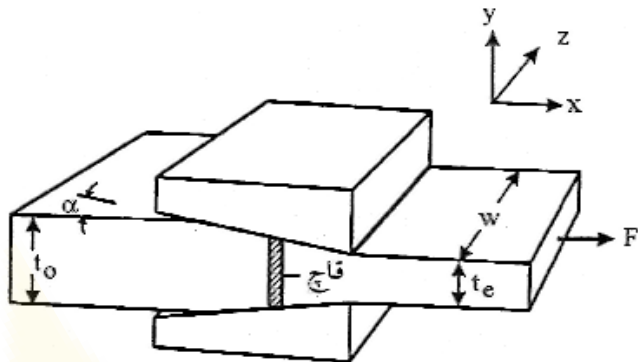
۱-۴- فرآیندهای شکل دادن فلزات

۱-۴-۱- کشش ورق

ورقی از فلز با پهنه‌ای اولیه w و ضخامت اولیه b را در نظر بگیرید که از میان یک جفت گره کشیده

می شود. هر دو گوه شبیه یکسان به سوی خط مرکزی دارند و $t > w$. این فرآیند را معمولاً کشش ورق یا تسمه می نامند که جزئیات آن در شکل (۱۷-۱) نشان داده شده است. به سبب شکل هندسی اولیه ورق، برای همه مقادیر عملی تغییر شکل با کرنش صفحه‌ای است ($\epsilon_z = \epsilon_0$) و پهنه‌ی ورق تغییر نمی‌کند. در حقیقت تغییر ضخامت ورق و رسیدن به ضخامت t_e ، با افزایش معادل در طول قطعه همراه است. در حالت کرنش صفحه‌ای معیارهای فون میزز و ترسکا معادل هستند.

$$\sigma_1 - \sigma_3 = 2K = \frac{2\sigma_0}{\sqrt{3}} = \sigma'_0$$



شکل ۱-۱۷) اصول کشش ورق یا تسمه با کرنش صفحه‌ای

بین تنش تسلیم کششی متوسط در حالت یک محوری (\bar{Y}) و تنش تسلیم متوسط در حین تغییر شکل صفحه‌ای آن طبق معیار فون میزز، رابطه زیر برقرار است:

$$(74-1) \quad \bar{S} = 1/15 \bar{Y} = 2K$$

و طبق معیار ترسکا $\bar{S} = \bar{Y} = 2K$. اما عمدتاً از معیار فون میزز استفاده می‌شود. تنش لازم برای رساندن ضخامت ورق از t_0 به t_e با در نظر گرفتن کار سختی از دو روش به دست می‌آید:

۱- تحلیل کار ایده‌آل

با فرض عدم وجود اصطکاک و بازده ۰٪ داریم:

$$(75-1) \quad \sigma_d = \frac{\bar{S}}{\eta} \ln \left(\frac{1}{1-r} \right) = \frac{\bar{S}}{\eta} \ln \left(\frac{t_0}{t_e} \right)$$

که در آن σ_d تنش کششی لازم برای تغییر فرم تسمه است.

۲- تحلیل تعادل نیروها

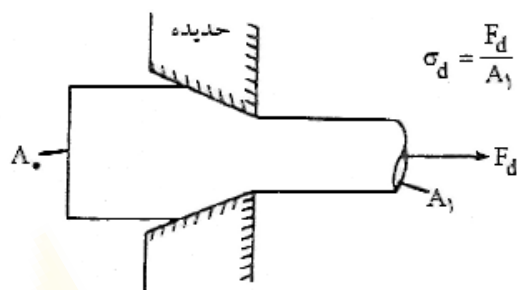
این روش علاوه بر این که شامل اطلاعات کار ایده‌آل می‌شود، آثار اصطکاک را نیز در بر دارد. طبق این روش داریم:

$$(76-1) \quad \sigma_d = \bar{S} \frac{(1+B)}{B} \left[1 - \left(\frac{t_e}{t_0} \right)^B \right] = \bar{S} \frac{(1+B)}{B} \left[1 - (1-r)^B \right]$$

که در آن $B = \mu \cot \alpha$ ضریب اصطکاک و α نیم زاویه قالب است. در معادله بالا کاهش سطح مقطع است.

۱-۴-۲- کشش سیم یا مفتول

طی فرآیند کشش سیم اگر سطح مقطع از A_1 یا قطر سیم از D_1 به D_0 کاهش یابد، (شکل ۱۸-۱)، تنش لازم برای ایجاد کاهش در سطح مقطع طبق روابط زیر بدست می‌آید:



شکل ۱۸-۱) شما فرآیند کشش سیم یا مفتول

۱- تحلیل کار ایده‌آل
در صورت عدم وجود اصطکاک با بازده η :

$$\sigma_d = \frac{\bar{Y}}{\eta} \ln \left(\frac{A_0}{A_1} \right) = \frac{2\bar{Y}}{\eta} \ln \left(\frac{D_0}{D_1} \right) = \frac{\bar{Y}}{\eta} \ln \left(\frac{1}{1-r} \right) \quad (V7-1)$$

۲- طبق تحلیل ساکس:

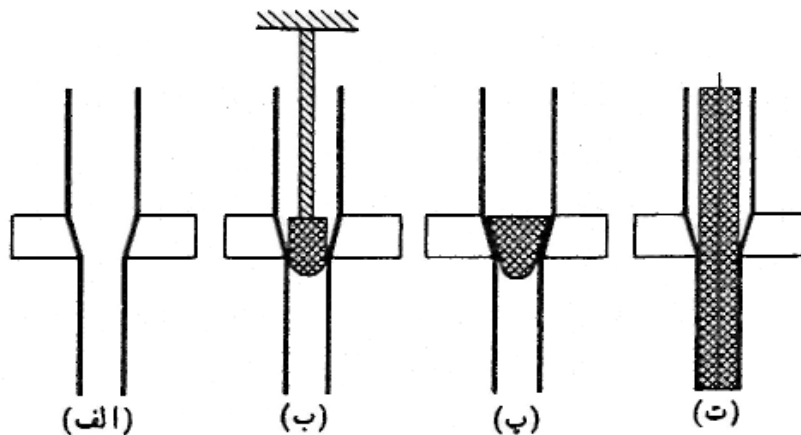
$$\sigma_d = \frac{\bar{Y}(1+\beta)}{\beta} \left[1 - \left(\frac{D_1}{D_0} \right)^{1/B} \right] = \frac{\bar{Y}(1+B)}{B} \left[1 - (1-r)^B \right] \quad (V8-1)$$

که در آن $B = \mu \cot \alpha$ و μ ضریب اصطکاک و α نیم زاویه قالب است. \bar{Y} تنش شارش میانگین و r کاهش سطح مقطع است.

۱-۴-۳- فرآیندهای کشیدن لوله

استوانه‌های توخالی یا لوله‌ایی که با فرآیندهای شکل دادن گرم مانند فشارکاری یا سنبه کای و نورد تولید می‌شوند، غالباً توسط کشیدن پرداخت سرد می‌شود. کشیدن سرد برای بدست آوردن حدود مجاز ابعادی دقیقتر، تولید پرداختهای سطحی بهتر، بهبود خواص مکانیکی لوله به وسیله کار سختی، تولید لوله‌های با جدار نازکتر یا قطرهایی کوچکتر از آنچه با روش‌های گرمکاری بدست می‌آید و تولید

لوله‌هایی با اشکال نامنظم، به کار می‌رود. سه نوع فرآیند عمدۀ کشیدن لوله عبارت است از ۱ - فروکشی ۲ - توپی کشی ۳ - سبه کشی (شکل ۱-۱۹).



شکل ۱-۱۹) روش‌های کشیدن لوله (الف) فروکشی (ب) توپی ثابت (پ) توپی شناور (ت) سبه متحرک

۱-۴-۳-۱ - توپی کشی

در توپی کشی هر دو قطر داخلی و خارجی لوله، با کشیدن آن روی توپی کنترل می‌شوند. توپی ممکن است استوانه‌ای یا مخروطی باشد. توپی، شکل و اندازه قطر داخلی را کنترل می‌کند و لوله‌ای با دقیق ابعادی بیشتر از فروکشی لوله بدست می‌آید.

به علت زیاد شدن اصطکاک از جانب توپی، کاهش مساحت به ندرت از ۳۰ درصد تجاوز می‌کند. وضعیتی که یک توپی بدقت جفت شده در دهانه قالب شناور است در شکل (۱-۱۹) (پ) نشان داده شده است. توپیهای شناور به دقیق طراحی شده می‌توانند ۴۵ درصد کاهش سطح ایجاد کنند. ویژگی مهم این طراحی این است که کشیدن و کلاف کردن طولهای بلند لوله امکان‌پذیر است. برای کشیدن لوله با توپی، تنش کششی مطابق زیر تعریف می‌شود:

$$\sigma_{xa} = \frac{\bar{S}(1+B')}{B'} \left[1 - \left(\frac{l_b}{l_a} \right)^{B'} \right] = \frac{\bar{S}(1+B')}{B'} \left[1 - (1-r)^{B'} \right] \quad (۷۹-۱)$$

که در آن \bar{S} تنش تسلیم متوسط در حین تغییر شکل صفحه‌ای، B' کاهش سطح مقطع، l_a اضخامت جداره لوله ورودی و l_b اضخامت جداره لوله خروجی است. B' از رابطه زیر بدست می‌آید:

$$B' = \frac{\mu_1 + \mu_2}{\tan \alpha - \tan \beta}$$

که در آن μ_1 ضریب اصطکاک بین لوله و جداره قالب، μ_2 ضریب اصطکاک بین لوله و توپی، α نیم زاویه مخروط قالب و β نیم زاویه مخروط توپی است که برای توب استوانه‌ای $\alpha = \beta$ می‌باشد.

۱ - ۳ - ۴ - سنبه کشی

سبنه از سیم یا مفتول سختی تشکیل شده است که در تمام طول لوله امتداد دارد و بال لوله در قالب کشیده می‌شود. در کشیدن لوله با سنبه متحرک، قسمتی از نیروی کششی توسط کشیدن، بر قسمت خروجی و بخشی بوسیله تیروهای اصطکاکی وارد در امتداد سطح مشترک لوله با سنبه به فلز منتقل می‌شود. محدودیت این روش آن است که برای لوله‌های با طول بلند قابل استفاده نیست. ضمناً بعد از اتمام فرآیند، سنبه باید توسط قرقه از لوله خارج شود که این عمل قطر لوله را اندکی زیاد کرده و حدود مجاز ابعادی را به هم می‌زند. تنش کشیدن مطابق رابطه زیر است:

$$\sigma_{xa} = \frac{\bar{S}(1+B')}{B'} \left[1 - \left(\frac{t_b}{t_a} \right)^B' \right] = \frac{\bar{S}(1+B')}{B'} \left[1 - (1-r)^B' \right] \quad (80-1)$$

که در آن \bar{S} تسلیم متوسط در حین تغییر شکل صفحه‌ای، t کاهش سطح مقطع، r ضخامت جداره لوله ورودی و B' ضخامت جداره لوله خروجی است. B' از رابطه زیر بدست می‌آید.

$$B' = \frac{\mu_1 - \mu_2}{\tan \alpha - \tan \beta}$$

که در آن μ_1 ضریب اصطکاک بین لوله و جداره قالب، μ_2 ضریب اصطکاک بین لوله و توپی، α نیم زاویه مخروط قالب و β نیم زاویه مخروط توپی است که برای توپ استوانه‌ای $\alpha = \beta$ می‌باشد.

۱ - ۳ - ۵ - فروکشی

فروکشی لوله فرآیندی است که قطر داخلی لوله توسط آن کم می‌شود. قسمتهایی که در فروکشی لوله وجود دارد توسط ساکس و بالدوین و با این فرض که ضخامت جدار لوله ثابت می‌ماند، تحلیل شده‌اند. معادله تنش کشیدن در خروجی قالب مشابه معادله تنش کشیدن در کشیدن سیم و مطابق زیر است:

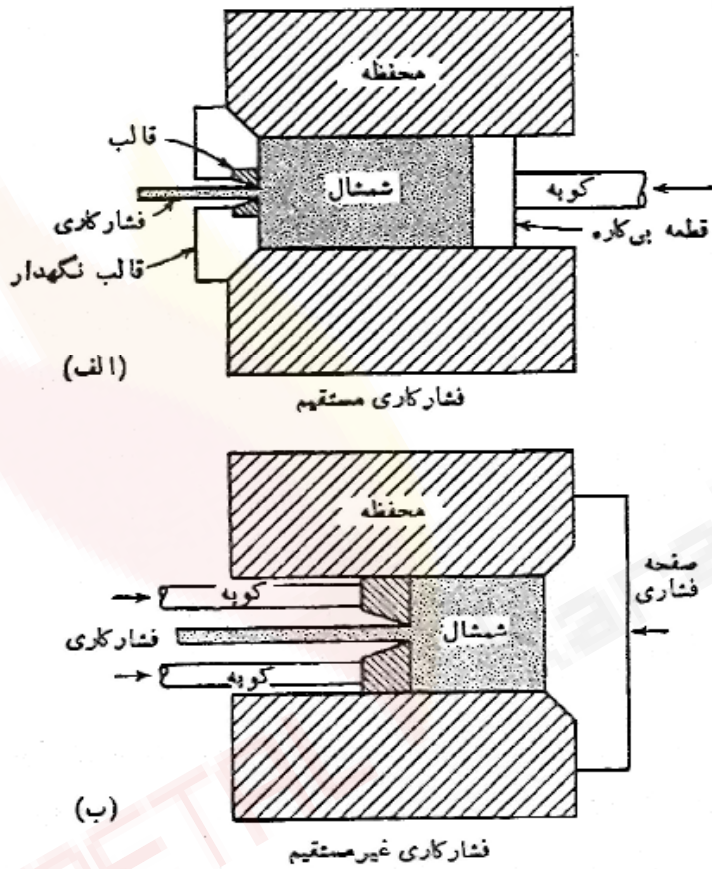
$$\sigma_{xa} = \frac{\bar{S}(1+B)}{B} \left[1 - \left(\frac{D_b}{D_a} \right)^B \right] \quad (81-1)$$

که در آن \bar{S} تسلیم متوسط در حین تغییر شکل صفحه‌ای، D_a قطر داخلی لوله ورودی و D_b قطر داخلی لوله خروجی است. $B = \mu \cot \alpha$ که در آن α نیم زاویه مخروط قالب است. در اینجا $\left(\frac{D_b}{D_a} \right)$ برخلاف فرآیند کشش سیم که به توان B می‌رسد که دلیل آن، این است که

مساحت سطح مقطع در فروکشی لوله تقریباً $\pi D t$ است.

۱-۴-۴- اکستروژن

اکستروژن یا روزنرانی یا فشار کاری، فرآیندی است که توسط آن، سطح مقطع قطعه فلزی در اثر وادار کردن قطعه به جریان از داخل دهانه قالب تحت فشار زیاد، کم می شود. به طور کلی اکستروژن برای تولید میله های استوانه ای یا لوله های توخالی به کار می رود. به علت نیاز به نیروهای زیاد در اکستروژن، بیشتر فلزات تحت شرایط گرم که مقاومت تغییر شکل فلز خیلی کم است، اکستروز می شوند. دونوع اصلی اکستروژن عبارتند از اکستروژن مستقیم و اکستروژن غیر مستقیم یا اکستروژن معکوس. (شکل (۲۰-۱))



شکل ۱ - ۲۰ انواع فرآیند اکستروژن یا فشار کاری

در اکستروژن مستقیم کوبه و محصول در یک جهت حرکت می کنند ولی در اکستروژن معکوس کوبه و محصول خلاف جهت هم حرکت می کنند.

نسبت فشار کاری عبارت است از نسبت سطح مقطع اولیه شمشال به سطح مقطع نهایی پس از فشار کاری.

$$R = \frac{A_i}{A_f} \quad (82-1)$$

رابطه بین نسبت اکستروژن و کاهش سطح مقطع دارای اهمیت است.

$$R = \frac{1}{1-r} \quad (83-1)$$

چنانچه قالب دارای نگهدارنده باشد، در اثر اصطکاک نگهدارنده در قالبی با زاویه 90° درجه، ناحیه‌ای به نام منطقه مرده بوجود می‌آید.

برای یک زاویه نیم محرومی 45° ، آهنگ متوسط کرنش در میانگین زمانی از رابطه زیر بدست می‌آید:

$$\dot{\varepsilon}_t = \frac{\bar{\varepsilon}}{t} = \frac{6v \ln R}{D_b} \quad (84-1)$$

و برای زاویه نیم قالب α

$$\dot{\varepsilon}_t = \frac{6V D_b^{\frac{1}{2}} \ln R \tan \alpha}{D_b^{\frac{1}{2}} - D_e^{\frac{1}{2}}} \quad (85-1)$$

که در آنها D_b قطر شمشال، D_e قطر قطعه اکسترود شده، R نسبت اکستروژن و V سرعت کوبه است. فشار لازم برای اکستروژن با نسبت اکستروژن R برابر است با:
۱- تحلیل کارایده آل

$$P_e = \frac{\bar{Y}}{\eta} \ln R = \frac{\bar{Y}}{\eta} \ln \left(\frac{1}{1-r} \right) \quad (86-1)$$

۲- تحلیل ساکس

$$P_e = \frac{\bar{Y}(1+B)}{B} \left[1 - \left(\frac{D_e}{D_b} \right)^{1/B} \right] = \frac{\bar{Y}(1+B)}{B} (1 - R^B) \quad (87-1)$$

که در آن $B = \mu \cot \alpha$ ضریب اصطکاک و α نیم زاویه قالب و R نسبت اکستروژن است. اندازه‌گیری دقیق نیروها در اکستروژن که توسط دیر انجام شد، نشان داد که نیروی کل اکستروژن P_e ، برابر مجموع نیروی قالب P_d ، نیروی اصطکاک بین آسترفلزی محفظه و شمشال برآمده P_{sf} و نیروی اصطکاک بین آسترفلزی و متعاقبات آن P_{sf} است به طور کلی $P_e \approx P_{sf}$. تعریف معادله بر حسب فشار عبارت است از:

$$P_e = P_d + \frac{4\tau_i L}{D} \quad (88-1)$$

که در آن τ_i تنش برش یکنواخت در سطح مشترک شمشال و آسترفلزی محفظه، L طول شمشال در آسترفلزی محفظه و D قطر داخلی آسترفلزی محفظه است.

رابطه بین فشار اکستروژن و فشار در دهانه ورودی قالب:

$$\frac{P_e}{P_b} = 1 + \frac{4\mu L}{D} \quad (89-1)$$

که در آن P_e فشار اکستروژن، P_b فشار در دهانه ورودی قالب، μ ضریب اصطکاک، L طول شمشال و D قطر داخلی محفظه اکستروژن است. رابطه دقیق‌تری به شکل زیر نیز ارائه شده است:

$$\frac{P_e}{P_b} = \exp \left(\frac{4\mu L}{D} \right) \quad (90-1)$$

یک فرمول نیمه تجربی هم برای اکستروژن وجود دارد:

$$\frac{P_e}{Y} = a + b \ln R \quad (91-1)$$

که Y تنش تسلیم فلز است. برای قطعه اکسیرود شده دارای تقارن محوری $a = 0/8$ و $b = 1/5$ است. کوド برای اکستروژن در قالب‌های قائم ($2\alpha = 180^\circ$) تعریف زیر را بیان کرد:

$$\frac{P_e}{Y} = 1/06 + 1/55 \ln R$$

در صد تأثیر اصطکاک را از فرمول زیر می‌توان محاسبه کرد:

$$\% \text{ تأثیر اصطکاک} = \frac{\left(\frac{P_e}{P_b} \right) - \left(\frac{P_e}{Y} \right)}{\left(\frac{P_e}{P_b} \right)} \times 100 \quad (92-1)$$

که در آن $\left(\frac{P_e}{P_b} \right)$ از روابط (89-1) یا (90-1) و $\left(\frac{P_e}{Y} \right)$ از معادله (86-1) بدست می‌آیند.

راندمان اکسیروژن از رابطه زیر بدست می‌آید:

$$\eta = \frac{P_{id}}{P_e} \times 100 \quad (93-1)$$

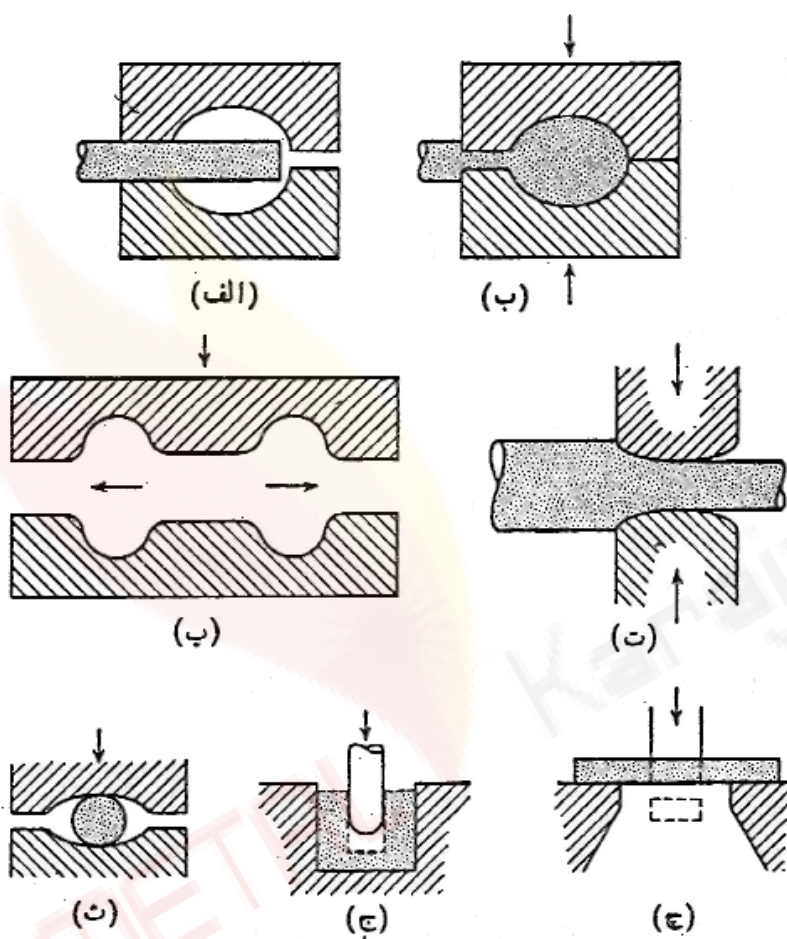
که P_{id} از معادله (86-1) به دست می‌آید و P_e هم فشار واقعی اکسیروژن است.

۱-۴-۵-آهنگری (فورج)

۱-۵-۱-دسته بندی فرآیندهای آهنگری (فورجینگ)

آهنگری کاربر فلز توسط پتک‌کاری یا پرسکاری و درآوردن آن به یک شکل مفید است. اغلب عملیات آهنگری به صورت گرم اجرا می‌شوند. اما فلزات ویژه‌ای هم هستند که می‌توانند به صورت سرد آهنگری شوند. در عملیات آهنگری دو دسته اصلی تجهیزات به کار می‌روند پتک آهنگری یا پرسکاری.

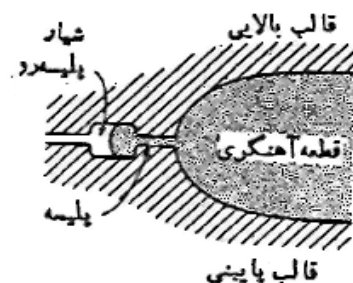
سقوطی که ضربه سریعی را به سطح فلز وارد می‌کند و پرس آهنگری که نیروی فشاری آرامی را به فلز وارد می‌کند. دو دسته اصلی فرآیندهای آهنگری، آهنگری قالب باز و آهنگری قالب بسته هستند. آهنگری قالب باز بین قالبهای مسطح یا قالبهای با اشکال بسیار ساده اجرا می‌شود. این فرآیند اکثراً برای اشیاء بزرگ یا وقتی که تعداد قطعات تولید شده کم است به کار می‌رود. در آهنگری قالب بسته قطعه بین دو نیم قالب که اثر شکل نهایی قطعه بر آنها نقش بسته تغییر شکل پیدا می‌کند. در این روش قطعه تحت فشار زیاد و در یک حفره بسته تغییر شکل می‌دهد و بنابراین قطعات آهنگری شده دقیقی با حدود مجاز ابعادی ظریف قابل تولید هستند. در شکل (۲۱-۱) انواع فرآیندهای آهنگری نشان داده شده‌اند.



شکل ۱ - (۲۱) انواع عملیات آهنگری: (الف) و (ب) لبه کاری (پ) شیار کاری (ت) کشش (ث) سوراخگری (ج) سنپه کاری (چ) سوراخکاری

استفاده از فلز به اندازه کافی در قطعه آهنگری، طوری که حفره قالب را کاملاً پر کند، مهم است. چون قرار دادن مقدار درست فلز در مکانهای صحیح حین شیار کاری و لبه کاری مشکل است، استفاده از کمی فلز اضافه مرسوم است. وقتی قالبهای برای مرحله نهایی به هم تزدیک می‌شوند، فلز اضافی به صورت نوار نازکی از فلز که به پلیسه مرسوم است بیرون می‌زند. برای جلوگیری از تشکیل پلیسه خیلی

پهن، معمولاً یک برآمدگی موسوم به شیار پلیسه را تعبیه می‌کنند. (شکل (۱-۲۲))



شکل ۱-۲۲ شمای مقطع در آهنگری قالب بسته

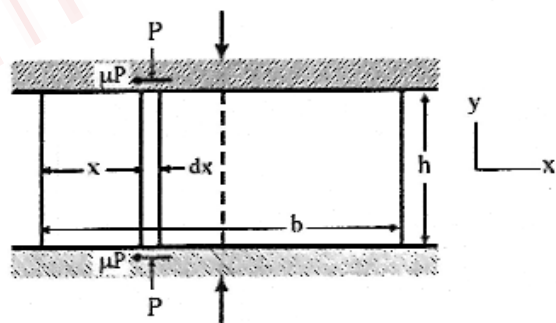
مرحله نهایی در ساخت یک قطعه آهنگری قالب بسته، زدودن پلیسه قالب پلیسه‌گیری است. شکل (۱-۲۳) منحنی مشخصه بار آهنگری را بر حسب پیش روی قالب (ضریبه پرس) برای فرآیندهای آهنگری قالب بسته نشان می‌دهد.



شکل ۱-۲۳ منحنی مشخصه بار آهنگری بر حسب ضربه برای آهنگری قالب بسته

۱-۴-۵-۲- آهنگری در شرایط کرشم صفحه‌ای

در شکل (۱-۲۴) آهنگری قطعه‌ای با ضخامت یکنواخت و در شرایط کرشم صفحه‌ای نشان داده شده است. فرض می‌شود که ورق دارای عرض w ، عمود بر صفحه کاغذ باشد و این عرض ثابت بماند.



شکل ۱-۲۴ اصول تحلیل تراز نیروی قاج

آهنگری این قطعه را در شرایط اصطکاک لغزنده و چسبنده بررسی می‌کنیم.

۱- اصطکاک لغزنده:

فشار لازم برای فورجینگ در این حالت از معادله زیر بدست می‌آید:

$$P = 2K \exp \left(\frac{2\mu x}{h} \right) \quad (94-1)$$

که از سطح $x=0$ تا خط مرکزی $\frac{b}{2}$ صادق است. مقدار ماکریم P در خط مرکزی دیده می‌شود:

$$P_{max} = 2K \exp \left(\frac{\mu b}{h} \right) \quad (95-1)$$

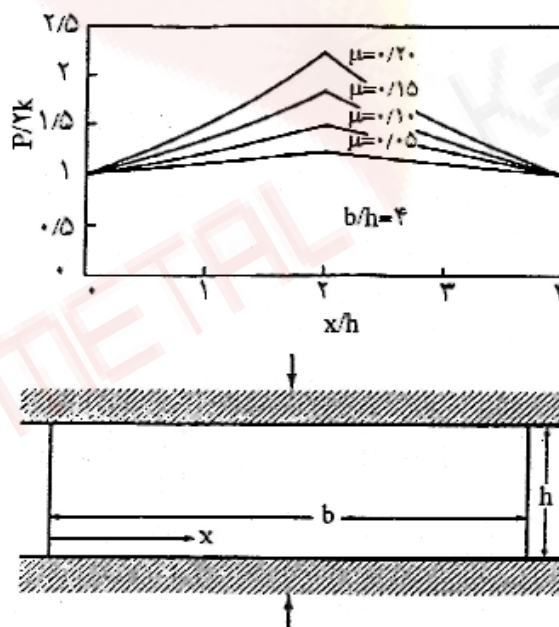
و حداقل P در لبه‌های ورق در $x=0$ می‌باشد:

$$P_{min} = 2K$$

باید توجه داشت که روابط بالا به ازای بعضی مقادیر μ معتبر هستند. زیرا تنش برشی در فصل مشترک که در روابط بالا P فرض شده‌اند، نمی‌تواند از استحکام برشی ساده، K ، بیشتر شود، یعنی رابطه زیر برقرار باشد:

$$\frac{b}{h} \leq -\frac{1}{\mu} \ln 2\mu$$

صعود P در هنگام نزدیک شدن به خط مرکزی را که در شکل (۲۵-۱) نشان داده شده است، تپه اصطکاک می‌نامیم.



شکل ۱-۲۵) نمایش تپه اصطکاک در فشردن با کرنش صفحه‌ای به ازای مقادیر مختلف ضریب اصطکاک

فشار میانگین برای انجام عملیات آهنگری از رابطه زیر بدست می‌آید:

$$P_{av} = \frac{2Kh}{\mu b} \left[\exp \left(\frac{\mu b}{h} \right) - 1 \right] \quad (96-1)$$

به ازای مقادیر کوچک $\frac{\mu b}{h}$ نتیجه می‌شود:

$$\frac{P_{av}}{2K} = 1 + \frac{\mu b}{2h} + \dots \approx 1 + \frac{1}{2} \frac{\mu b}{h} \quad (97-1)$$

نیروی لازم برای فورج از رابطه زیر بدست می‌آید:

$$F_b = b \cdot W \cdot P_{av}$$

۲ - اصطکاک چسبنده در فصل مشترک

اگر در فصل مشترک اصطکاک چسبنده حاکم باشد، در این صورت فشار لازم برای فورج از رابطه

زیر بدست می‌آید:

$$P = 2K \left(1 + \frac{x}{h} \right) \quad (98-1)$$

ماکریم فشار در خط مرکزی از رابطه زیر بدست می‌آید:

$$P_{max} = 2K \left(1 + \frac{b}{2h} \right) \quad (99-1)$$

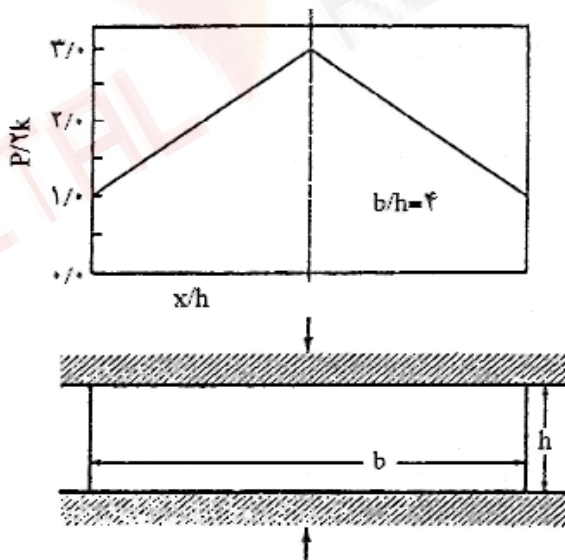
حداقل فشار فورج در لبه‌ها خواهد بود.

$$P_{min} = 2K \quad (100-1)$$

فشار میانگین در این حالت برابر خواهد بود با:

$$P_{av} = 2K \left(1 + \frac{b}{4h} \right) \quad (101-1)$$

توزیع فشار در این حالت در شکل (۲۶-۱) نشان داده شده است:



شکل ۱ - (۲۶) تپه اصطکاک در فشردن با کرنش صفحه‌ای و در شرایط اصطکاک چسبنده

نیروی لازم برابر است با:

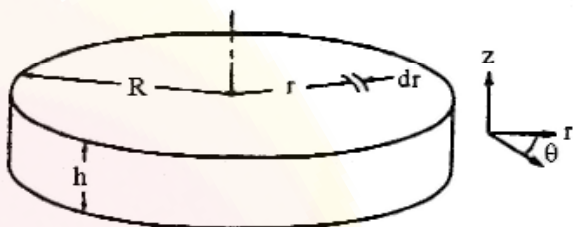
$$F_P = b \cdot W \cdot P_{av} \quad (10-2-1)$$

۱ - ۴ - ۵ - ۳ - تنش برشی ثابت در فصل مشترک

هنگامی که از فیلمی از جامدهای نرم (مثل پلاستیک و یا سرب) برای روانکاری بین ابزارها و قطعه کار استفاده شود، با ثابت فرض کردن تنش برشی، $\tau = mK$ ، در فصل مشترک، شرایط اصطکاکی را بهتر می‌توان تقریب زد. در این حالت $1 \leq m \leq 0$. بنابراین فشارهای موضعی، ماکزیمم و میانگین به ترتیب از معادله $(98-1)$ ، $(101-1)$ و $(99-1)$ بدست می‌آیند، به شرط آنکه آخرین جمله هریک از این معادله‌ها در m ضرب کنیم.

۱ - ۴ - ۵ - ۴ - آهنگری در شرایط تقارن محوری

یک قرص فلزی به شعاع R و ضخامت h را که تحت عملیات آهنگری قرار گرفته در نظر بگیرید. (شکل ۱-۲۷).



شکل ۱ - ۲۷ - آهنگری در شرایط تقارن محوری

در دو حالت اصطکاک لغزنده و اصطکاک چسبنده فشار لازم برای فورج را محاسبه می‌کنیم:

۱ - اصطکاک لغزنده

هرگاه مقدار μ یا ضریب اصطکاک لغزشی در فصل مشترک ثابت باشد، فشار لازم برای فورج از رابطه زیر بدست می‌آید:

$$P = Y \exp \left(\frac{2\mu}{h} (R - r) \right) \quad (10-3-1)$$

فشار میانگین برابر است با:

$$P_{av} = \frac{1}{Y} \left(\frac{h}{\mu R} \right)^2 Y \left[\exp \left(\frac{2\mu R}{h} \right) - \frac{2\mu R}{h} - 1 \right] \quad (10-4-1)$$

به ازای مقادیر کوچک μ و مقادیر متوسط $\frac{R}{h}$ ، تقریب اول خوبی از معادله بالا چنین است:

$$P_{av} = Y \left(1 + \frac{a}{3} + \frac{a^2}{12} + \dots \right) \quad (10.5-1)$$

که در آن $a = \frac{2\mu R}{h}$ و تنها از سه جمله اول بسط e^a استفاده شده است.

باید توجه داشت که اصطکاک لغزنده فقط در صورتی در سراسر فصل مشترک حاکم است که:

$$R \leq \left(\frac{h}{2\mu} \right) \ln \left(\frac{K}{\mu Y} \right)$$

نیروی لازم برای آهنگری در این حالت برابر است با:

$$F_p = \pi R^2 \cdot P_{av} \quad (10.6-1)$$

۲- اصطکاک چسبنده

اگر در فصل مشترک اصطکاک چسبنده وجود داشته باشد، باید تنش برشی، K ثابت باشد.
فشار آهنگری در این حالت از رابطه زیر بدست می‌آید:

$$P = Y + \frac{2K}{h} (R - r) \quad (10.7-1)$$

فشار میانگین به ازای تنش برشی ثابت چنین بدست می‌آید:

$$P_{av} = Y + \frac{2KR}{3h} \quad (10.8-1)$$

نیروی لازم برای آهنگری در این حالت از رابطه زیر بدست می‌آید:

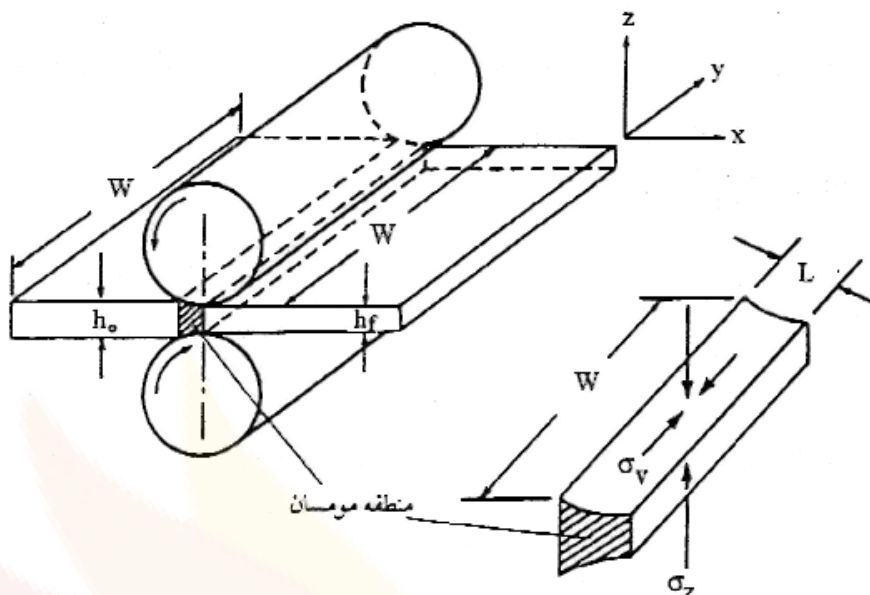
$$F_p = \pi R^2 \cdot P_{av} \quad (10.9-1)$$

برای بدست آوردن فشار لازم برای شروع سیلان در تمام روابط h و b و R اولیه را قرار می‌دهیم و برای محاسبه فشار نهایی h و b و R نهایی را قرار می‌دهیم. همچنین برای محاسبه نیروی آهنگری همیشه از فشار میانگین استفاده می‌کنیم.

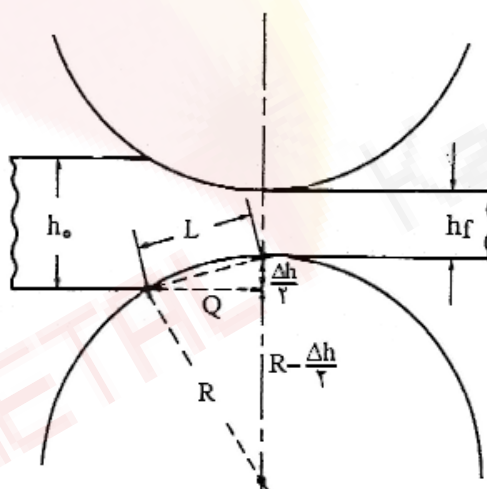
۱-۴-۶- نورد

نوردکاری تخت صفحه‌ها، ورقها و تسمه‌ها اساساً عملیاتی با کرنش صفحه‌ای است زیرا در نتیجه این کار، پهنه‌ای قطعه کار فقط اندکی افزایش می‌یابد. با بررسی شکل منطقه تغییر شکل، مطابق شکل (۲۸-۱) می‌توان این موضوع را توضیح داد. طول ناحیه تماس بین غلتک‌ها و قطعه کار، L معمولاً از پهنه‌ای ورق، W ، بسیار کوچکتر است. هنگامی که غلتکها تنش فشاری σ_z را ایجاد می‌کنند، منطقه مومنان نازک می‌شود و می‌تواند آزادانه در امتداد نوردکاری، یعنی امتداد L مبتنی شود. اما ماده تغییر

شکل نیافته در دو طرف شکاف غلتک، به طور مؤثری مانع انساط جانبی در امتداد لامی شود. در نتیجه حالتی از کرنش صفحه‌ای پدید می‌آید که در آن $\gamma_{xy} = \gamma_{xz}$ ، به جز در لبه‌های قطعه کار. شکل هندسی شکاف غلتک در شکل (۲۹-۱) را در نظر بگیرید که در آن R شعاع غلتک، $\Delta h = h_i - h_f$ کاهش ضخامت، و L وتر کمان تماس است. مشاهده می‌شود که :



شکل ۱ - ۲۸ - تصویر شماتیک منطقه تغییر شکل در نوردکاری تخت



شکل ۱ - ۲۹ - روابط ابعادی در شکاف غلتک

$$L = \sqrt{R \Delta h} \quad (110-1)$$

زاویه گیرش یا زاویه گازگیری زاویه‌ای است که یک ضلع آن محور شروع نورد و ضلع دیگر آن محور غلطکها است. رابطه زیر بین زاویه گیرش (α)، کاهش ضخامت (Δh) و قطر غلتکها (d) وجود

دارد:

$$\cos \alpha = 1 - \frac{\Delta h}{d} \quad (111-1)$$

شرط گازگیری این است که در آن $\mu > \tan \alpha$ باشد که ضریب اصطکاک و زاویه گازگیری است و حداقل زاویه گازگیری:

$$\alpha_{max} = \tan^{-1} \mu \quad (112-1)$$

رابطه بین حداقل کاهش ضخامت، ضریب اصطکاک و شعاع غلتک:

$$\Delta h_{max} = \mu^2 R \quad (113-1)$$

در حالت کلی زاویه گیرش برابر است با:

$$\alpha = \tan^{-1} \left(\frac{L}{R - \frac{\Delta h}{2}} \right)$$

کار انجام شده در فرآیند نورد از رابطه زیر بدست می‌آید:

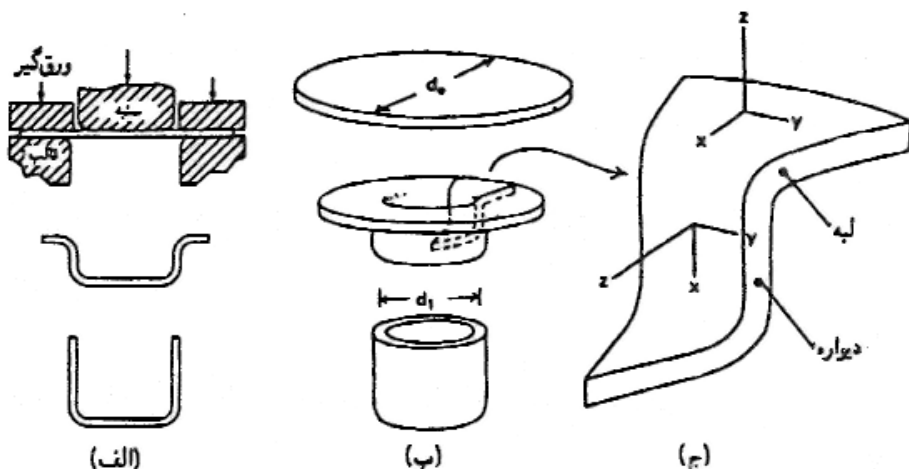
$$W = \frac{F}{W} = \bar{s} \sqrt{R \cdot \Delta h} \quad (114-1)$$

که در آن F نیروی نورد، W عرض ورق، \bar{s} تنش تسلیم متوسط حین تغییر شکل صفحه‌ای، R شعاع غلتک و Δh کاهش ضخامت است. وقتی ۲۰٪ تأثیر اصطکاک و کاراضافی را هم در نظر بگیریم فرمول بالا به شکل زیر در می‌آید:

$$\frac{F}{W} = 1/2\bar{s} \sqrt{R \cdot \Delta h} \quad (115-1)$$

۱-۴-۷- کشش عمیق

کشش عمیق نوعی فرآیند فلزکاری است که برای شکل دادن ورق صاف به محصولات فنچانی شکل مثل وان حمام، محفظه‌های پوسته‌ای و گلگیر اتومبیل مورد استفاده قرار می‌گیرد. این عمل با قرار دادن لقمه‌ای به اندازه مناسب روی قالب شکل دار و فشار دادن فلز به داخل قالب با یک سنبه انجام می‌شود. (شکل ۱ - ۳۰)



شکل ۱ - ۳۰ تصویر شماتیک کشش عمیق و محورهای مختصات

برای هر ماده، معین یک نسبت کشش حدی (LDR) وجود دارد که معرف بزرگترین لقمه‌ای است که می‌تواند از داخل قالب کشیده شود بدون اینکه پاره شود. حد بالایی نظری در LDR برابر است با:

$$LDR = \frac{D_{\cdot}}{D_p} \approx e^{\eta} \quad (116-1)$$

که D_{\cdot} قطر ورق گرد اولیه و D_p قطر سنبه یا قطر محصول فتجانی شکل است. η راندمان است و افتهای اصطکاکی را نشان می‌دهد. اگر $\eta = 1$ باشد، $LDR \approx 2N$ خواهد بود در صورتی که $\eta = 0$ باشد، $LDR \approx 2$ است.

η یا بازده در فرآیند کشش عمیق نسبت فشار ایده‌آل به فشار واقعی برای انجام عملیات کشش عمیق است.

$$\eta = \frac{P_{id}}{P_w}$$

حداکثر نیروی لازم برای کشش عمیق با بازده η از رابطه زیر بدست می‌آید.

$$F_{max} = \frac{\pi d_{\cdot} t S}{\eta} \ln \left(\frac{d_{\cdot}}{d_1} \right) \quad (117-1)$$

که در آن d_{\cdot} قطر قطعه اولیه، d_1 سنبه، t ضخامت ورق و S تنش شارش فلز در شرایط کرنش صفحه‌ای است. در این حالت تنش محوری در دیواره‌ها برابر است با:

$$\sigma_x = \frac{F_{max}}{\pi d_{\cdot} t} = \bar{s} \ln \left(\frac{d_{\cdot}}{d_1} \right) \quad (118-1)$$

در فرآیند کشش عمیق در قسمت لبه رابطه زیر برای کرنش موثر وجود دارد:

$$\bar{\epsilon} = \frac{2}{\sqrt{3}} \ln(LDR)$$

چنانچه کرنش میانگین را با \bar{R} نشان دهیم، داریم:

$$\ln(LDR) = \eta \sqrt{\frac{\bar{R} + 1}{2}}$$

۱-۵- تحلیل کران بالایی

در عملیات شکل دادن فلزات، نیرویی را باید محاسبه کرد که قطعاً بتواند فلز را تغییر شکل مومسان دهد و شکل مطلوب را به آن ببخشد. تحلیل کران بالایی، باری را تخمین می‌زنند که برابر با، یا بزرگتر از بار مورد نیاز برای ایجاد شارش مومسان است. در تحلیلهای کران بالایی بر ارضای یک معیار تسلیم و اطمینان یافتن از اینکه تغییر در شکل از لحاظ هندسی خودسازگار است، تأکید می‌شود. در این روش به تعادل تنش توجه نمی‌شود.

۱-۵-۱- تحلیل کران بالایی (راه حل قابل قبول از لحاظ سینماتیکی)

قضیه کران بالایی را می‌توان چنین بیان کرد: هر تخمینی از بار فروپاشی یک سازه که با برابر گرفتن آهنگ داخلی مصرف انرژی، با آهنگ انجام کار نیروهای خارجی در الگوی تغییر شکل فرضی، بدست می‌آید، از بار واقعی بیشتر، یا با آن برابر است.

اساس یک تحلیل بالایی به شرح زیر است:

۱- یک میدان شارش داخلی فرض می‌شود و در تغییر شکل مورد نیاز به حساب می‌آید. این میدان باید از لحاظ هندسی خودسازگار باشد.

۲- انرژی مصرف شده داخلی در این میدان تغییر شکل، با استفاده از خواص مکانیکی فلزی که کار روی آن انجام می‌گیرد، محاسبه می‌شود.

۳- نیروها (یا تنشها)ی خارجی، با برابر گرفتن کار خارجی با مصرف انرژی داخلی محاسبه می‌شود. در چنین روش‌هایی، می‌توان با رسم نمودار بردار سرعت، سازگاری کامل میدان فرضی را وارسی کرد. این نمودار را معمولاً سرعت نگار می‌نامند.

در هنگام استفاده از روش کران بالایی در عملیات فلزکاری، چندین فرض ساده کننده را در نظر می‌گیرند.

۱- ماده همسانگرد و همگن است.

۲- از آثار کرنش - سختی و آهنگ کرنش بر تنش شارش چشم پوشی می‌شود.

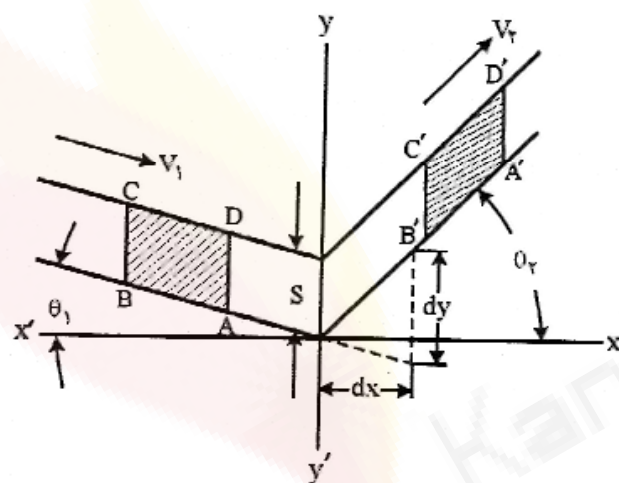
۳- در فصل مشترک ابزار - قطعه کار شرایط بدون اصطکاک یا تنش بررشی ثابت برقرار است.

۴- در اغلب مواردی که بررسی می‌شود، شارش دو بعدی (کرنش صفحه‌ای) است و همه تغییر شکل به وسیله برش در چند صفحه گسته انجام می‌شود. در موارد دیگر ماده صلب فرض می‌شود. اگر فرض شود که برش در صفحه‌های متقطع و غیر متعامد انجام می‌شود، این صفحه‌ها نمی‌توانند

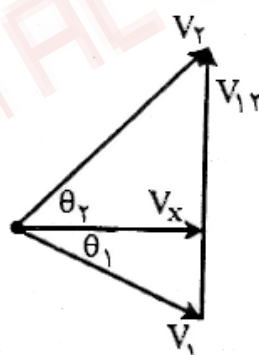
صفحه‌های تنش برشی ماکزیمم باشند. بسیاری از این قبیل میدانها را می‌توان مطرح کرد و هرچه میدان به میدان شارش حقیقی شبیه‌تر باشد، جوابهای حاصل از روش کران بالایی نیز دقیق‌تر خواهد بود.

۱-۵-۲- مصرف انرژی روی صفحه‌ای با برش گستته

در شکل (۳۱-۱-الف) جزء $ABCD$ از فلزی صلب نشان داده شده است که با سرعت واحد V_1 حرکت می‌کند و پهنه‌ای آن نیز برابر واحد است. هنگامی که این جزء به صفحه $'yy'$ می‌رسد، به تغییر امتداد، شکل و سرعت وادر می‌شود. در سمت راست $'yy'$ شکل آن $A'B'C'D'$ و سرعت آن V_2 است که با امتداد افقی زاویه θ_2 می‌سازد. شکل (۳۱-۱-ب) سرعت نگار را نشان می‌دهد. سرعتهای مطلق در دو طرف $'yy'$ عبارتند از V_1 و V_2 ، که از مبدأ O رسم می‌شوند. هم V_1 و هم V_2 باید مؤلفه افقی V_x داشته باشند، در غیر این صورت حجم ماده‌ای که به $'yy'$ می‌رسد با حجم ماده‌ای که آن را ترک می‌کند برابر نخواهد بود، یعنی ماده تراکم ناپذیر نیست.



(الف)



(ب)

شکل ۱ - (۳۱) (الف) مبنای تحلیل مصرف انرژی در صفحه‌ای با برش ناپیوسته (ب) سرعت نگار یا نمودار بردار سرعت

سرعت V_{12}^* عبارت است از اختلاف برداری بین V_1 و V_2 و ناپیوستگی سرعت در طول 'yy را نشان می‌دهد. فرض می‌شود V_{12}^* در امتداد خط (یا صفحه) 'yy است.

آهنگ مصرف انرژی روی 'yy باید با کار در واحد حجم، ضرب در حجمی که در واحد زمان از 'yy می‌گذرد برابر باشد. چون تغییر شکل از برش ناشی می‌شود، کار در واحد حجم، یعنی w با تنش برشی τ ، ضرب در کرنش برشی γ ، برابر است. در اینجا w باید استحکام برشی فلز، K ، باشد و

$$\gamma = \frac{dy}{dx}, \text{ بنابراین:}$$

$$w = k \frac{dy}{dx} \quad (119-1)$$

حجمی که در جزء زمان dt از 'yy می‌گذرد برابر است با طول خط، K ، در امتداد 'yy، ضرب در عمق صفحه عمود بر 'yy (واحد)، ضرب در V_x . بنابراین:

$$\frac{\text{حجم}}{\text{زمان}} = S(1)V_x \quad (120-1)$$

از تلفیق معادله‌های (119-1) و (120-1) آهنگ انجام کار برای ایجاد این تغییر شکل برشی بدست می‌آید:

$$\frac{dW}{dt} = \left(K \frac{dy}{dx} \right) (S V_x) \quad (121-1)$$

از مقایسه شکل‌های (1-۳۱-الف) و (1-۳۱-ب) نتیجه می‌شود.

$$\frac{dy}{dx} = \frac{V_{12}^*}{V_x} \quad \text{پس:}$$

$$\frac{dW}{dt} = K S V_{12}^* \quad (122-1)$$

برای میدانهای تغییر شکلی که بیش از یک صفحه برش گسته داشته باشند، داریم:

$$\frac{dW}{dt} = \sum_i^j K \cdot S_i V_i^* \quad (123-1)$$

که K و V_i^* به صفحه‌های مجزا مربوطند.

معادله (123-1) همان صورتی است که در اغلب مسایل شامل محاسبات کران بالایی استفاده خواهد شد. این معادله نشان می‌دهد که هر جزء به روی تغییر شکل می‌دهد که مقاومت مومنان ماکزیمم را از خود نشان دهد.

۱-۶- نظریه میدان خط لغزش

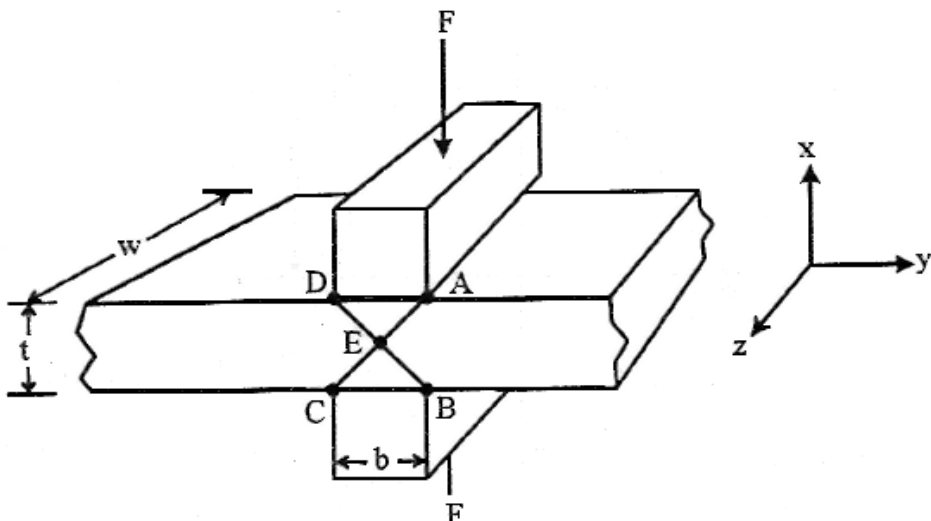
در هنگام بحث درباره رهیافت کران بالایی در مورد مسئله‌های کرنش صفحه‌ای، فرض می‌شود که تغییر شکل در طول خطوط برش شدید رخ می‌دهد. با وقوع تغییر شکل، فلز داخل هر چند ضلعی به صورت قطعه‌ای یکپارچه حرکت می‌کند. برای ایجاد تصویری واقعی تر از شارش فلز در حین تغییر شکل، نوعی نظریه میدان وجود دارد. این روش را می‌توان روش ترسیمی تلقی کرد که آن را تحلیل میدان خط لغزش می‌نامند.

این نامگذاری تا حدودی در نظر مهندس متالورژی خواهایند نیست، زیرا خط لغزش معنای خاص خود را دارد. شاید «نظریه صفحه برش» نام بهتری بود، زیرا خطوط لغزش به صفحه‌هایی با تنفس برشی مأکریم مربوطند که با صفحه‌های اصلی زاویه ۴۵° می‌سازند.

این تحلیل بر میدان تغییر شکلی مبنی است که از لحاظ هندسی با ایجاد تغییر در شکل سازگار است، به علاوه تنشهای درون میدان از لحاظ استاتیکی قابل قبولند. اما چون حالت تنش در بیرون از میدان نادیده گرفته می‌شود، بعضی از میدانهای پیشنهادی، که در غیر این صورت قابل قبول می‌بودند، ممکن است تعادل در بیرون منطقه تغییر شکل را بر هم بزنند. در این حالت، چنین جوابهایی کرانهای بالا هستند. علاوه بر فرضهای معمول، دال بر همسانگرد و همگن بودن فلز، رهیافت متدائل به این موضوع شامل فرضهای زیر نیز هست:

- ۱- فلز کاملاً صلب - موسمان است. این به معنای نادیده گرفتن کرنشهای کشان و ثابت فرض کردن تنش شارش است (کار - سختی رخ نمی‌دهد).
- ۲- تغییر شکل با کرنش صفحه‌ای است.
- ۳- آثار احتمالی دما آهنگ کرنش و زمان در نظر گرفته نمی‌شود.
- ۴- تنش برشی در فصل مشترک ثابت است. معمولاً شرایط بدون اصطکاک، یا اصطکاک چسبنده فرض می‌شود.

عمل شکل دادن در شکل (۳۲-۱) را در نظر بگیرید. دو سندان تخت چنان بارگذاری شده‌اند که ورق یا صفحه‌ای به پهنهای w و ضخامت t را فشار دهند. طول سندانها دست کم برابر w و پهنهای آنها $b=t$ است. اگر $t > w$ باشد، آنگاه با اعمال بار F ، عملأ هیچ تغییری در بعد w ، در زیر سندانها ایجاد نمی‌شود، بنابراین منطقه تغییر شکل وضعیت کرنش صفحه‌ای را تقریب می‌زند.

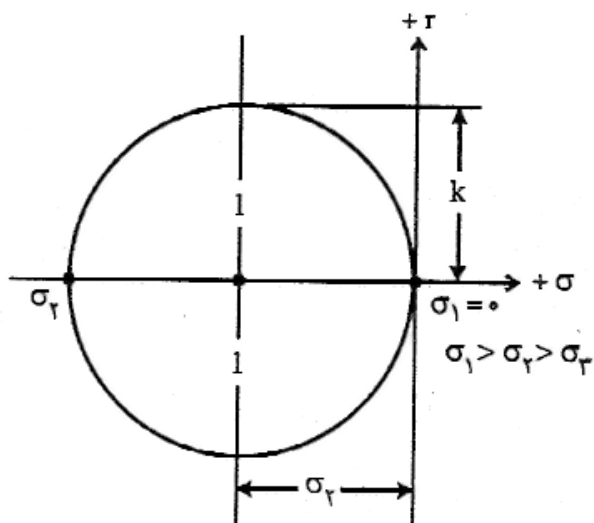


شکل ۱ (۳۲-۱) میدان خط لغزش برای فروبردن بدون اصطکاک، که در آن $b = t$

فرض کنید که فصل مشترک سندان - قطعه کار بدون اصطکاک است، در نتیجه تنش برشی ماکزیمم در طول خطوط DEB و AEC ایجاد می شود، زیرا σ_x تنش اصلی است. نواحی CEB و DEA به صورت دو بلوک صلب عمل می کنند، در حالی که نواحی واقع در سمت راست AEB و سمت چپ DEC نیز صلب اند و به صورت نشان داده شده با پیکانها حرکت می کنند. بدینهی است که با افزایش بار، و با کاهش فاصله بین سندانها، یعنی کاهش ضخامت لایه الگوی نشان داده شده در شکل (۳۲-۱) باید تغییر کند. اما فرض کنید که می خواهیم اندازه بار F را چنان محاسبه کنیم که سبب آغاز تغییر شکل موسسان شود. آنگاه میدان شارش ساده $DAEBC$ را می توان به صورت میدان خط لغزشی در نظر گرفت که این پیشگویی را ممکن می کند. تنش افقی σ_y باید صفر باشد، زیرا هیچ نیروی بازدارنده ای در امتداد لاعمل نمی کند، در حالی که تنش عمودی یا تنش بارگذاری σ_x ، باید تنش اصلی باشد، زیرا سطوح CB و DA بدون اصطکاک هستند. فرض کنید که اندازه σ_z ، بین اندازه های سایر تنشهاست. از مسئله فیزیکی نتیجه می شود که:

$$\sigma_x = \sigma_2, \quad \sigma_y = \sigma_1 = 0, \quad \sigma_x < \sigma_z < \sigma_y$$

که $\sigma_2 = \sigma_z$ و قرارداد علامت $\sigma_2 > \sigma_1 > \sigma_3$ برقرار است. در بسیاری از موارد با استفاده از دایره مور می توان نمایش سودمند و روشن از حالت تنش ارائه داد. در این مورد شکل (۳۳-۱) کمک مناسبی است.



شکل ۱ - ۳۳ - دایره تنش مور مربوط به شکل ۱ - ۳۲.

تنش فشاری لازم برای ایجاد تسلیم عبارت است از $\sigma_3 = 2k$ و نیروی متناظر F برابر است با $2Kwb$. این مثال ساده، اساس نظریه میدان خط لغزش را تا حدود زیادی روشن می‌کند. با دانستن امتدادهای برش ماکریسم و جهت‌گیری تنشهای اصلی بر اساس فیزیک مسئله، می‌توان بارهای مورد نظر را بر حسب تنش تسلیم برشی K تعیین کرد. البته تعداد وضعیتهايی که با میدان خط لغزش مشکل از خطوط راست، مطابق شکل (۳۲-۱) قابل بیان است، چندان زیاد نیست.

۱-۶-۱ - معادله‌های تنش

در تغییر شکل با کرنش صفحه‌ای، شارش فلز همواره با صفحه‌ای مفروض موازی است، بنابراین در امتداد عمود بر صفحه شارش، حرکت یا جابجایی فلز مشاهده نمی‌شود. پس در شکل (۳۲-۱)، شارش فلز در صفحه‌هایی موازی با صفحه z -ارخ می‌دهد و در امتداد z فلز حرکت نمی‌کند. با در نظر گرفتن این دستگاه xyz و مفهوم حجم ثابت، در می‌یابیم که:

$$d\varepsilon_x = -d\varepsilon_y, \quad d\varepsilon_z = 0 \quad (124-1)$$

$$\dot{\varepsilon}_x = -\dot{\varepsilon}_y, \quad \dot{\varepsilon}_z = 0 \quad (125-1)$$

$$d\gamma_{xy} \neq 0, \quad d\gamma_{yz} = d\gamma_{zx} = 0 \quad (126-1)$$

$$\dot{\gamma}_{xy} \neq 0, \quad \dot{\gamma}_{yz} = \dot{\gamma}_{zx} = 0 \quad (127-1)$$

$$\tau_{xy} = \tau_{xz} = 0 \quad (128-1)$$

پس σ_z باید تنش اصلی باشد و $(\sigma_x + \sigma_y) - \sigma_z = \frac{1}{2}(\sigma_1 + \sigma_2)$. بنابراین σ_2 باید با تنش میانگین یا تنش هیدررواستاتیکی در هر نقطه از میدان تغییر شکل معادل باشد. اگر محورهای x و y امتدادهای اصلی را نشان دهند، نتیجه می‌شود که:

$$\sigma_2 = \frac{\sigma_1 + \sigma_2 + \sigma_3}{3} = \sigma_{\text{میانگین}} \quad (129-1)$$

$$\sigma_1 = \sigma_2 + k, \quad \sigma_3 = \sigma_2 - k$$

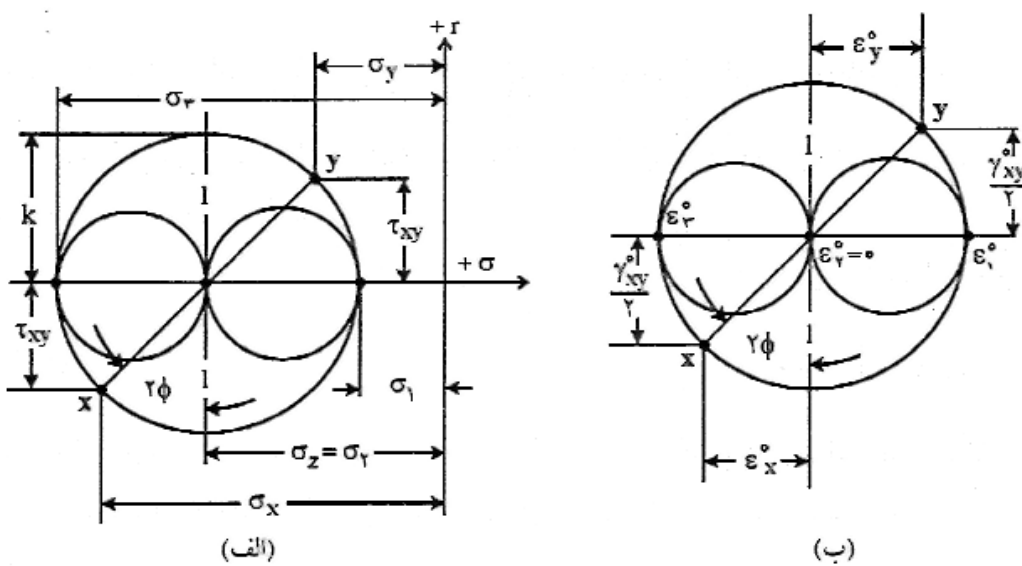
پس نکته‌ای مهم که همواره در مورد تغییر شکل با کرنش صفحه‌ای صادق است، آن است که تنش میانی، σ_2 ، همواره با تنش میانگین برابر است. در حقیقت این تنش مؤلفه هیدررواستاتیکی حالت تنش است و بر تسلیم تأثیر نمی‌گذارد.

با توجه به رابطه بین دایره‌های مور تنش و کرنش برای شارش موسمان، مکان تنش میانگین با مکان دایره کرنش که در آن $d\varepsilon = 0$ متناظر است. این نتیجه از معادله‌های (124-1) و (128-1) بدست می‌آید. از معادله (124-1) این نتیجه نیز حاصل می‌شود که کرنش صفحه‌ای با واپیچش در برش محض معادل است.

بنابراین تغییر شکل با کرنش صفحه‌ای حالتی از تنش را ایجاد می‌کند که می‌توان آن را تغییر شکل برشی محض، همراه با تنش هیدررواستاتیکی در نظر گرفت که در ناحیه تغییر شکل، از نقطه‌ای تا نقطه دیگر تغییر می‌کند. تسلیم هنگامی رخ می‌دهد که تنش تسلیم برشی، K ، ایجاد شود و بتوان نشان داد که معیار تسلیم زیر در این وضعیت صادق است:

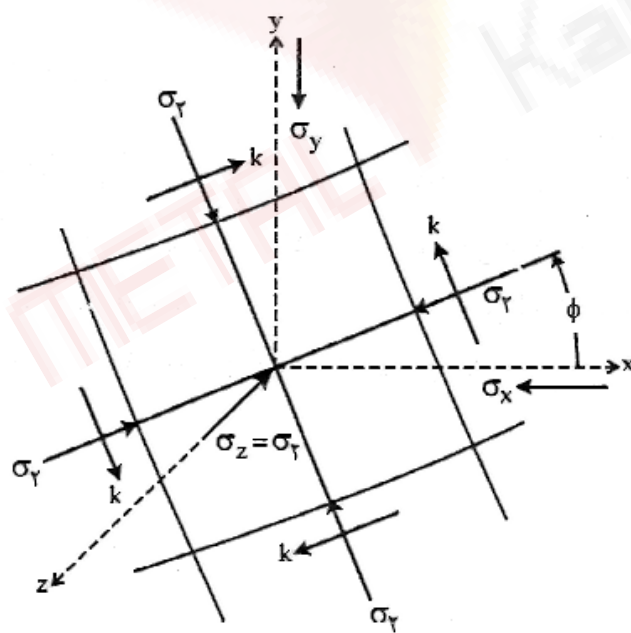
$$(130-1) \quad K^2 = \frac{(\sigma_x - \sigma_y)^2}{4} + \tau_{xy}^2 \quad . \quad 2k = \frac{2Y}{\sqrt{3}}$$

در ارتباط با گفته‌های اخیر، حالت کلی تنش در یک نقطه را که در شکل (33-1) نشان داده شده است در نظر بگیرید. سه تنش قائم به دلخواه فشاری در نظر گرفته شده‌اند و σ_z همان تنش میانی است و σ_x فشار تراز σ_y است. دایره مور مربوط به تنش در شکل (34-1) است. شکل (34-1-ب) دایره مور متناظر را برای کرنش نشان می‌دهد.



شکل ۱ ۳۴-۱) دایره‌های مور برای (الف) تنش و (ب) آهنگ کرنش در حالت کلی تنش در یک نقطه

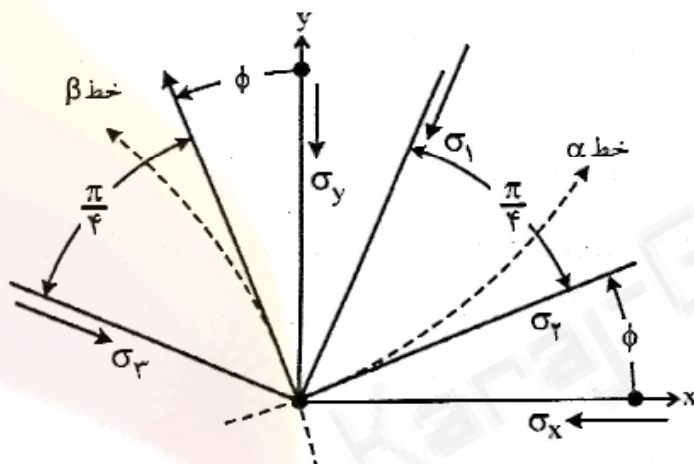
صفحه‌های برش ماکریسم بر هم عمودند. شبکه‌ای از این قبیل خطوط متعامد، میدان خط لغزش را می‌سازد. در شکل (۳۵-۱) جزی در میدان، در حالت کلی که خطوط راست نیستند و خمیده‌اند، نشان داده شده است. تنش برخی K ، در طول خطوط لغزش عمل می‌کند، در حالی که تنش میانگین σ_2 ، (که با p -، فشار قائم میانگین برابر است) عمود بر این خطوط و بروجه جزء عمل می‌کند. جزء نشان داده شده در شکل (۳۵-۱)، در مقایسه با شکل (۳۳-۱) به اندازه زاویه ϕ نسبت به محور X چرخش یافته است. این مقدار چرخش با زاویه ϕ روی نموداری مانند نمودار شکل (۳۴-۱-الف) متناظر است. هنگامی که در طول خط لغزش حرکت می‌کنیم، اندازه σ_2 از نقطه‌ای تا نقطه‌ای دیگر تغییر می‌کند و همین تغییر است که در هنگام استفاده از این نظریه بیشترین اهمیت را دارد.



شکل ۱ ۳۵-۱) تنش در یک جزء کوچک خمیده - خط

به منظور پی ریزی معادله های ضروری و به کارگیری درست این معادله ها، باید از قراردادی سازگار استفاده کنیم. معمولاً خانواده های خطوط لغزش متعامد را به صورت خطوط α و β نامگذاری می کنند و باید آنها را از یکدیگر تمیز داد. زاویه چرخش ϕ برای حرکت پاد ساعتگرد نسبت به یک مبدأ (در اینجا محور x)، مثبت فرض می شود و امتداد بزرگترین تنش اصلی جبری، σ_1 در ربعهای اول و سوم دستگاه $\beta - \alpha$ قرار می گیرد. به همین ترتیب خطوط β در ربعهای اول و سوم که به وسیله محورهای تنش σ_1 و σ_3 تشکیل می شوند، قرار می گیرند. این وضعیت در شکل (۳۶-۱) نشان داده شده است. توجه کنید که تنش صفر از هر تنش فشاری بزرگتر است، اگر همه تنشهای اصلی فشاری باشند، آنگاه کوچکترین تنش فشاری، از لحاظ جبری از همه بزرگتر است. در حالت کرنش صفحه ای، چون τ_{zx} و τ_{yz} صفرند، معادله های تعادل به معادله های زیر خلاصه می شوند:

$$\frac{\partial \sigma_x}{\partial x} + \frac{\partial \tau_{yx}}{\partial y} = 0 = \frac{\partial \sigma_y}{\partial y} + \frac{\partial \tau_{xy}}{\partial x} \quad (131-1)$$

شکل ۱ (۳۶-۱) قرارداد تعریف خطوط α و β

واز شکل (۳۴-۱) داریم:

$$\begin{aligned} \sigma_x &= \sigma_1 - K \sin 2\phi \\ \sigma_y &= \sigma_1 + K \sin 2\phi \\ \tau_{xy} &= K \cos 2\phi \end{aligned} \quad (132-1)$$

با ترکیب معادله های (۱۳۱-۱) و (۱۳۲-۱) و سپس دیفرانسیل گیری، نتیجه می شود:

$$\begin{aligned} \frac{\partial \sigma_1}{\partial x} - 2K \cos 2\phi \frac{\partial \phi}{\partial x} - 2K \sin 2\phi \frac{\partial \phi}{\partial y} &= 0 \\ \frac{\partial \sigma_1}{\partial y} + 2K \cos 2\phi \frac{\partial \phi}{\partial y} - 2K \sin 2\phi \frac{\partial \phi}{\partial x} &= 0 \end{aligned} \quad (133-1)$$

معادله‌های (۱۳۳-۱) را می‌توان در مورد هر مجموعه از محورهای دلخواه $'x$ و $'y$ در صفحه xy با اندازه‌گیری زاویه ϕ از $'z$ تا خط α ، به کار برد. هرگاه در نقطه O محورهای $'x$ و $'y$ بر خطوط α و β مماس باشند، داریم $0 = \phi$. آن‌گاه معادله‌های (۱۳۳-۱) به توابعی یک متغیره تبدیل می‌شوند و مشتقهای جزئی ضروری نیستند. پس:

$$\frac{d\sigma_1}{dx'} - 2K \frac{d\phi}{dx'} = 0 \quad (134-1)$$

$$\frac{d\sigma_2}{dy'} + 2K \frac{d\phi}{dy'} = 0$$

که پس از انتگرال‌گیری نتیجه می‌شود:

$$\begin{aligned} \sigma_1 - 2K\phi &= C_1 = \alpha \\ \sigma_2 + 2K\phi &= C_2 = \beta \end{aligned} \quad (135-1)$$

به لحاظ فیزیکی، حرکت در طول یک خط α یا β ، سبب می‌شود که σ_2 به صورت زیر تغییر کند:

$$\Delta\sigma_2 = 2K\Delta\phi_\alpha \quad \text{روی خط } \alpha$$

یا

$$\Delta\sigma_2 = -2K\Delta\phi_\beta \quad \text{روی خط } \beta \quad (136-1)$$

اگر به جای σ_2 از P - (فشار قائم بر یک خط لغزش) استفاده کنیم، معادله‌های (۱۳۵-۱) را معادله‌های هنکی می‌نامند و آنها را به صورت کلی زیر می‌نویسند:

$$\Delta P = -2K\Delta\phi_\alpha \quad \text{یا } P + 2K\phi = C_1 \quad (\text{خط } \alpha)$$

$$\Delta P = 2K\Delta\phi_\beta \quad \text{یا } P - 2K\phi = C_2 \quad (\text{خط } \beta)$$

به طور کلی مقادیر C_1 و C_2 در خطوط لغزش مختلف متفاوتند، اما معمولاً محاسبه عددی این ثابت‌ها لازم نیست. در حقیقت، معادله‌های (۱۳۵-۱) یا (۱۳۶-۱) معادله‌های تعادل‌اند که در طول یک خط لغزش بیان می‌شوند و شمول تعادل یکی از مهمترین اختلافهای بین نظریه میدان خط لغزش و رهیافت کران بالایی است.

۱-۶-۲- شرایط مرزی

صرف‌نظر از نوع نظریه میدان خط لغزش برای مسئله‌ای خاص، معمولاً یکی از تنشهای اصلی در یکی از مرزها تعیین می‌شود. در میان مناسب‌ترین مرزها می‌توان به مرزهای زیر اشاره کرد:

الف) سطح آزاد (منطقه موisman گسترش یافته در ورای ابزار). چون در سطح آزاد، تنشهای قائم یا

مماض وجود ندارند، خطوط α و β در چنین سطحی با زاویه 45° برخورد می‌کنند.

ب) فصل مشترک بدون اصطکاک (بین فلز و ابزار). همچون در مورد الف، خطوط α و β یکدیگر را با زاویه 45° قطع می‌کنند.

ج) فصل مشترک با اصطکاک چسبنده. هر جا خطوط لغزش در فصل مشترکی با اصطکاک چسبنده با یکدیگر برخورد کنند، آنگاه در فصل مشترک به K می‌رسیم. بنابراین یک خط لغزش مثلث α ، با فصل مشترک مماس می‌شود و خط آن در امتداد قائم آن را قطع می‌کند.

می‌توان از معادله‌های (۱۳۵-۱) برای تعیین یک قید اضافی در مورد شکل میدانی که از لحاظ استاتیکی قابل قبول است، استفاده کرد. ناحیه محصور بین دو خط α و β در شکل (۱۳۷-۱) را در نظر بگیرید. اختلاف بین A و C در رامی توان با پیمودن دو مسیر مختلف تعیین کرد. نخست مسیر A به D به C را در نظر بگیرید. در حرکت روی خط α از A به D داریم:

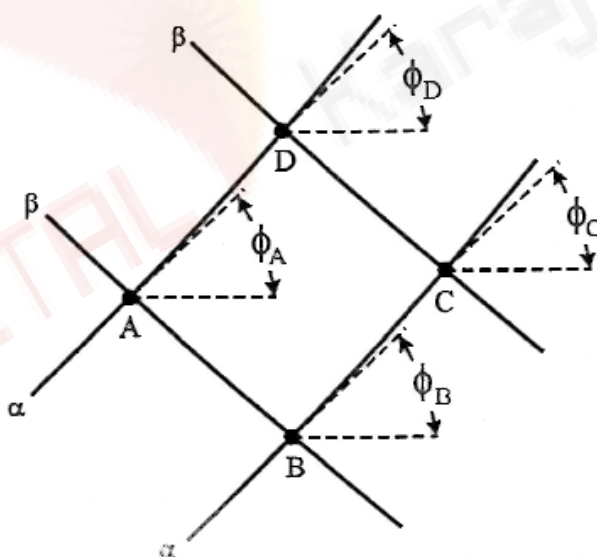
$$\sigma_{AD} = \sigma_{A} + 2K(\phi_D - \phi_A) \quad (137-1\text{-الف})$$

در حرکت روی خط β از D به C داریم:

$$\sigma_{DC} = \sigma_{D} - 2K(\phi_C - \phi_D) \quad (137-1\text{-ب})$$

بنابراین با تلفیق معادله‌های (۱۳۷-۱-الف) و (۱۳۷-۱-ب) نتیجه می‌شود:

$$\sigma_{DC} - \sigma_{A} = 2K(2\phi_D - \phi_A - \phi_C) \quad (138-1)$$



شکل ۱-۱۳۷-۱ دو جفت خط α و β برای تحلیل تغییر در تنش قائم میانگین، از طریق پیمودن دو مسیر مختلف

حال مسیر A به B به C را در نظر بگیرید. در حرکت روی خط β از A به B داریم:

$$\sigma_{\gamma B} = \sigma_{\gamma A} - 2K(\phi_B - \phi_A) \quad (139-1\text{-الف})$$

سپس در حرکت از B به C روی خط α داریم:

$$\sigma_{\gamma C} = \sigma_{\gamma B} + 2K(\phi_C - \phi_B) \quad (139-1\text{-ب})$$

پس

$$\sigma_{\gamma C} - \sigma_{\gamma A} = -2K(2\phi_B - \phi_A - \phi_C) \quad (139-1\text{-ج})$$

از برابر قرار دادن معادله های (139-1-ج) و (138-1) تیجه می شود:

$$\phi_A - \phi_B = \phi_D - \phi_C \quad \text{یا}$$

$$\phi_A - \phi_D = \phi_B - \phi_C \quad (140-1)$$

معادله (140-1) ایجاب می کند که شبکه ای از خطوط α و β چنان رسم شود که تغییر ϕ در طول هر خانواده مفروض از خطوطی که از یک نقطه با خانواده مخالف، به سوی نقطه تقاطع دیگری از همین نوع حرکت می کنند، یکسان باشد. این شرط به شرط تعامد افزوده می شود و نشان می دهد که تغییر زاویه ای، نه طول واقعاً پیموده شده، از اهمیت خاصی برخوردار است.